

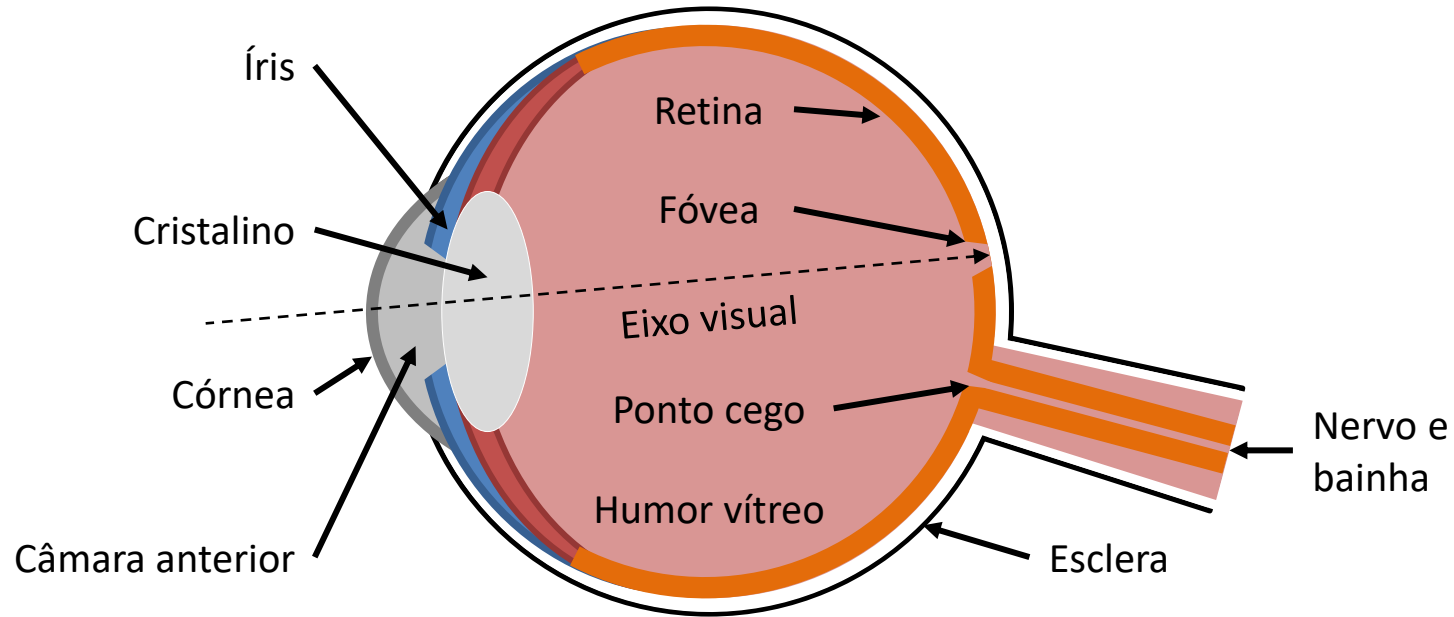
Aula 02 – Fundamentos da imagem digital I

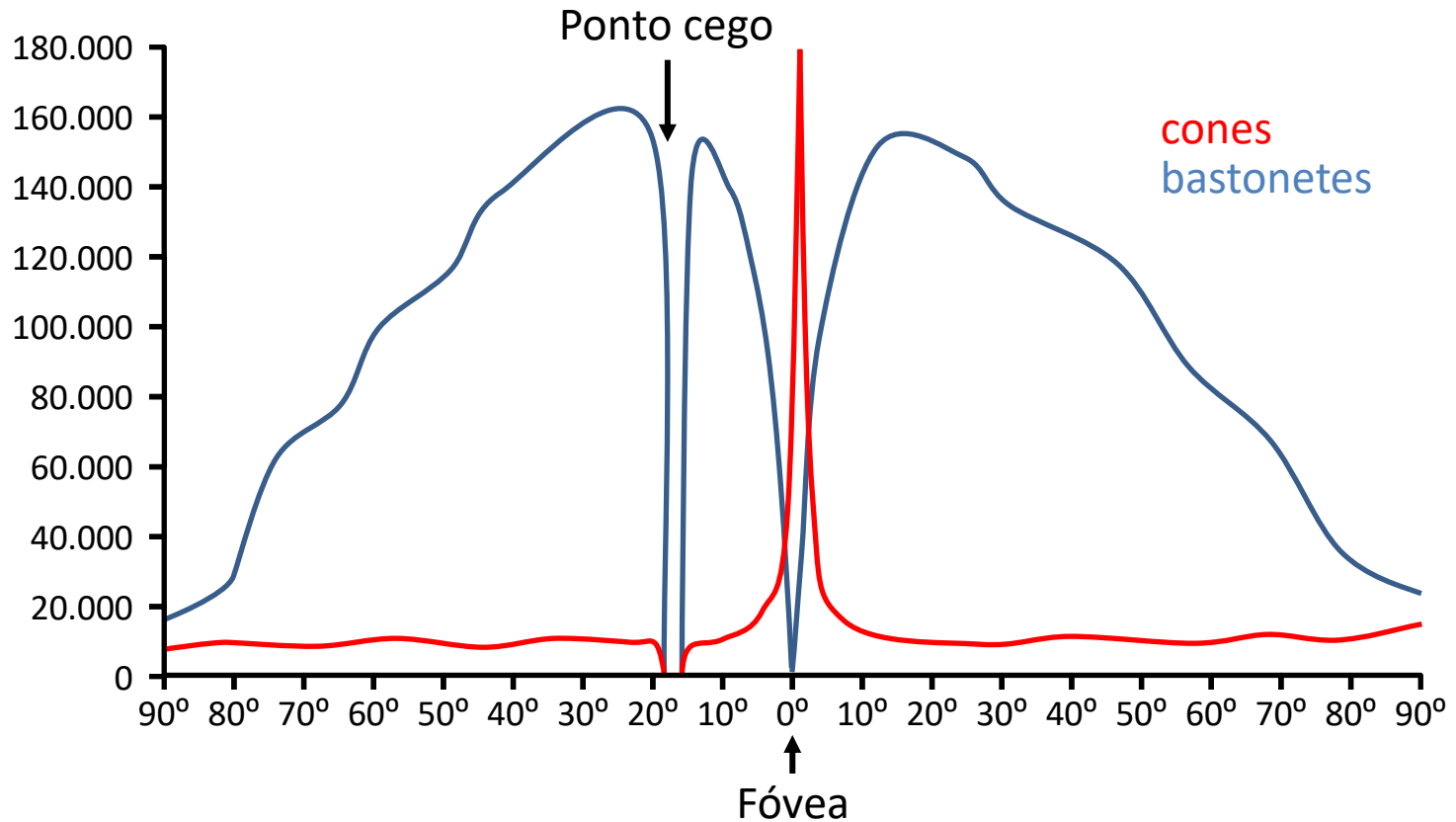
Prof. João Fernando Mari

joaofmari.github.io

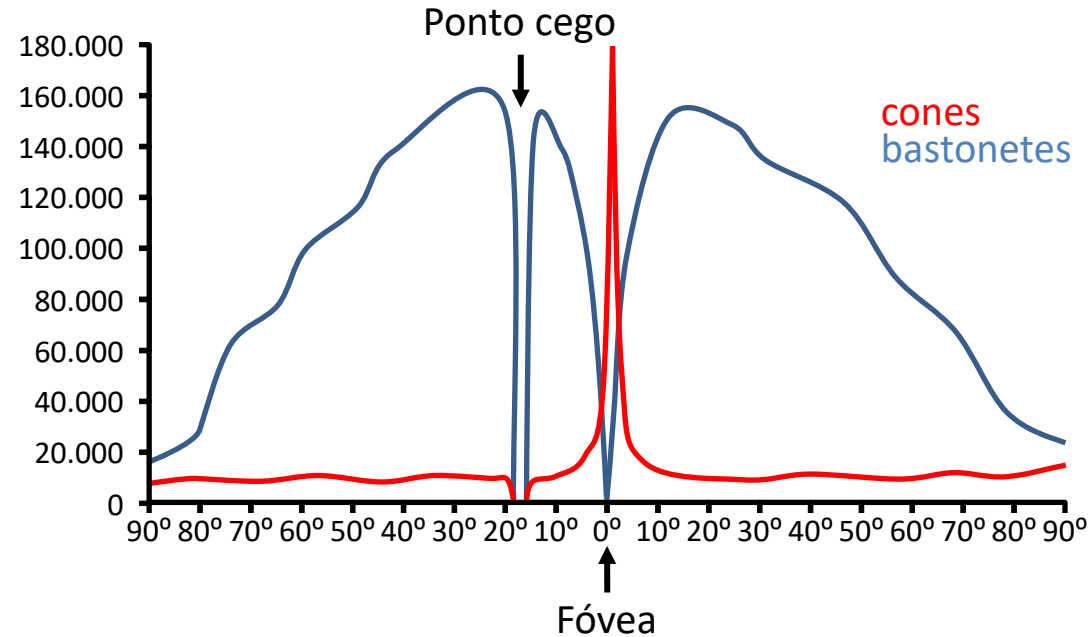
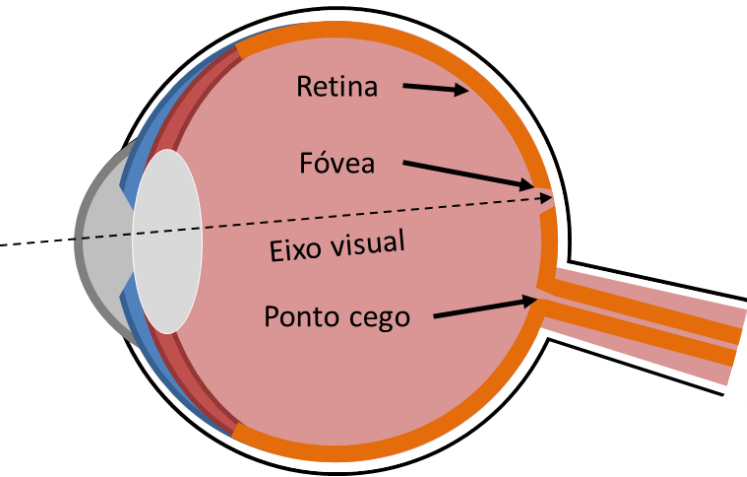
joaof.mari@ufv.br

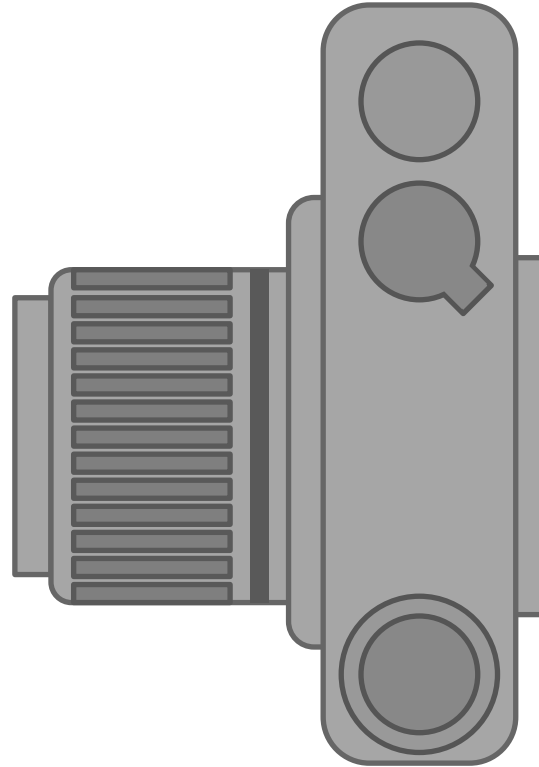
- O olho humano
- Câmera fotográfica
- A imagem digital
- Imagens coloridas – RGB
- O espaço de cores RGB
- Aquisição de imagens
- Sensores CCD e padrão de Bayer
- Amostragem
- Efeitos da resolução espacial
- Resolução de intensidade
- Efeitos da resolução de intensidade

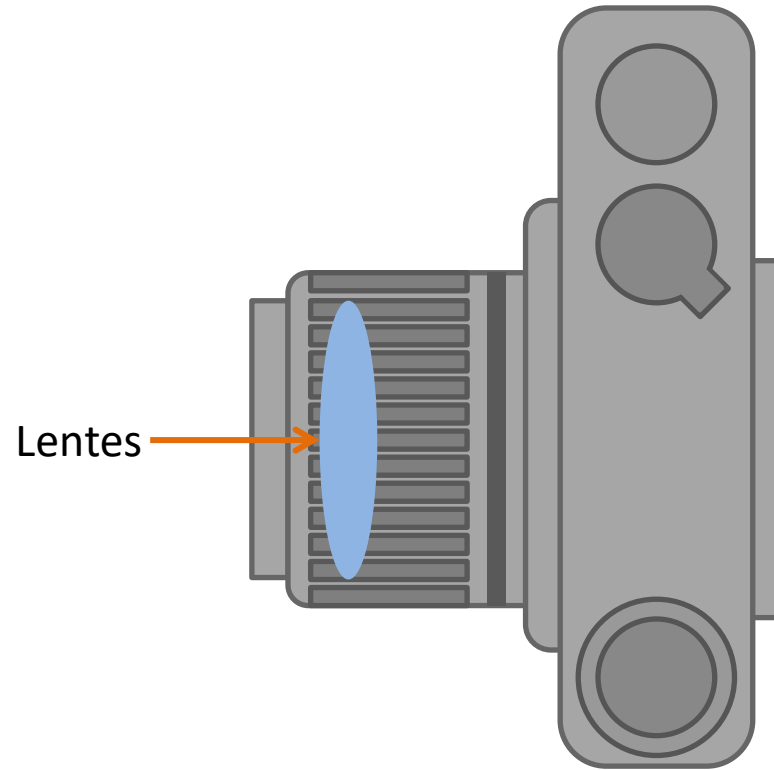


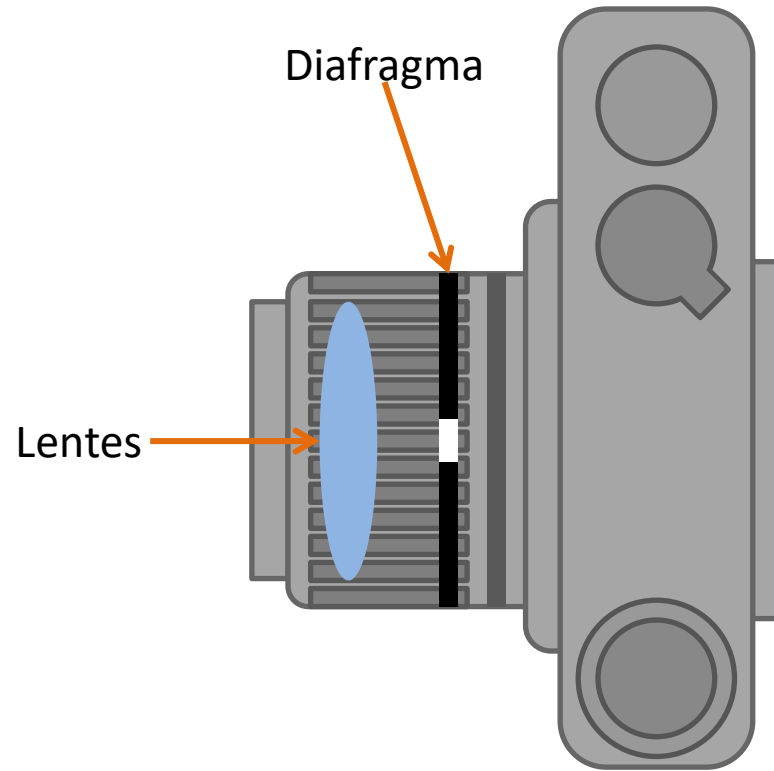


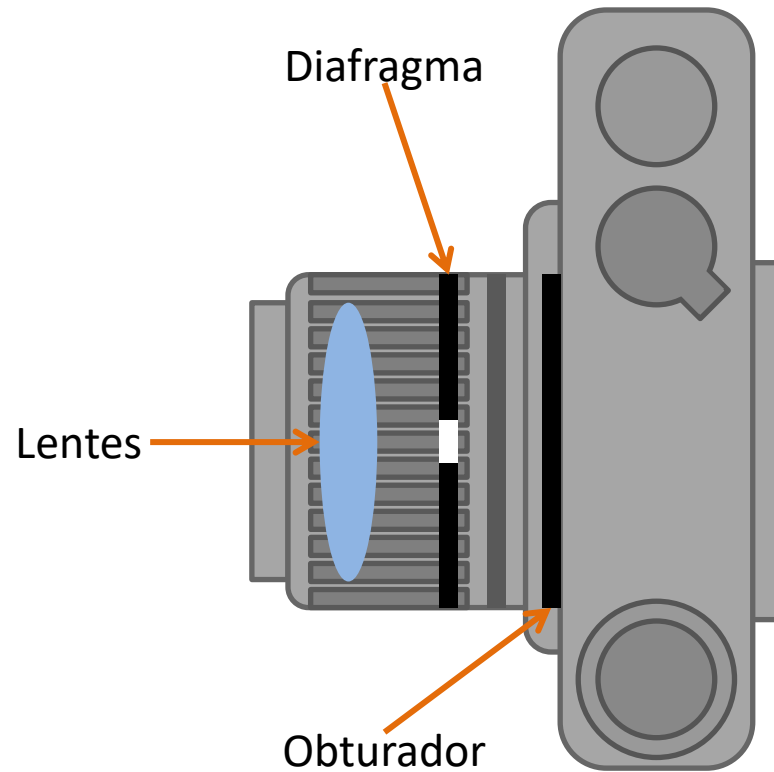
O olho humano

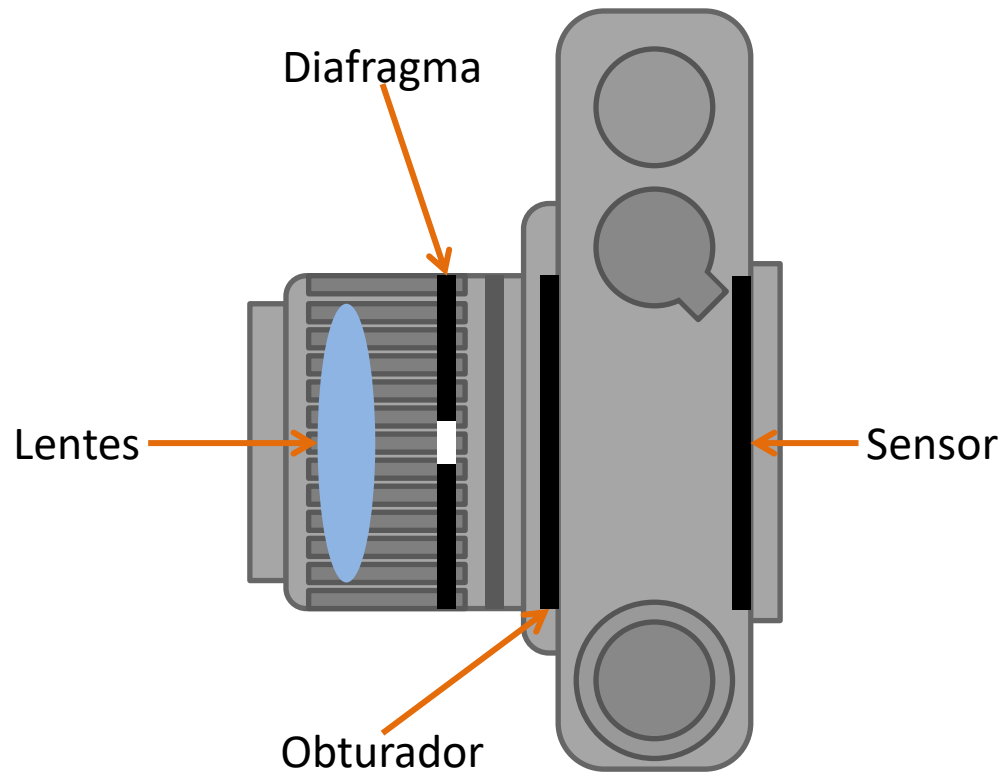


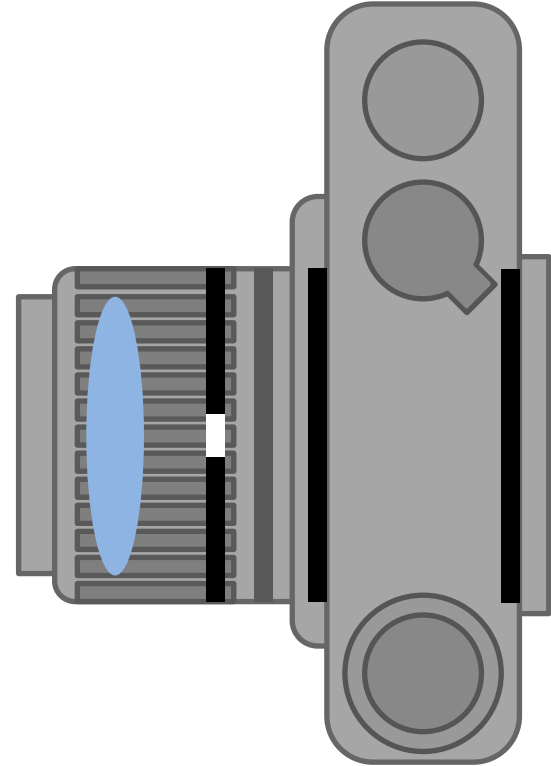


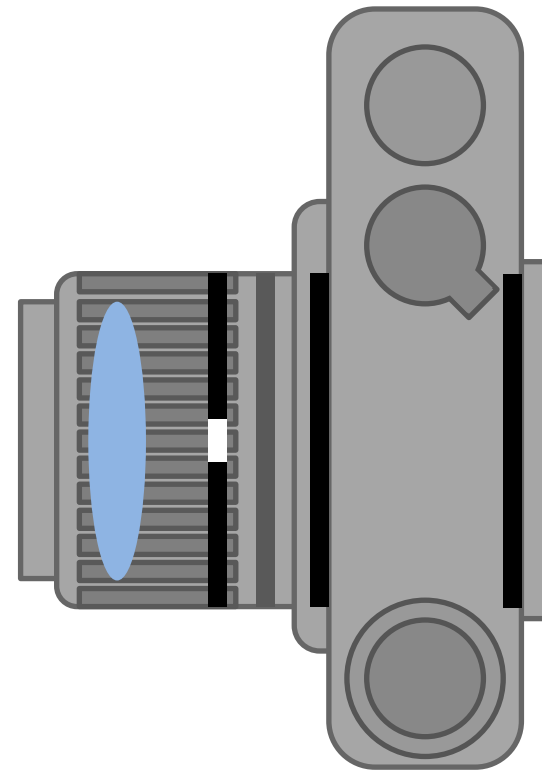
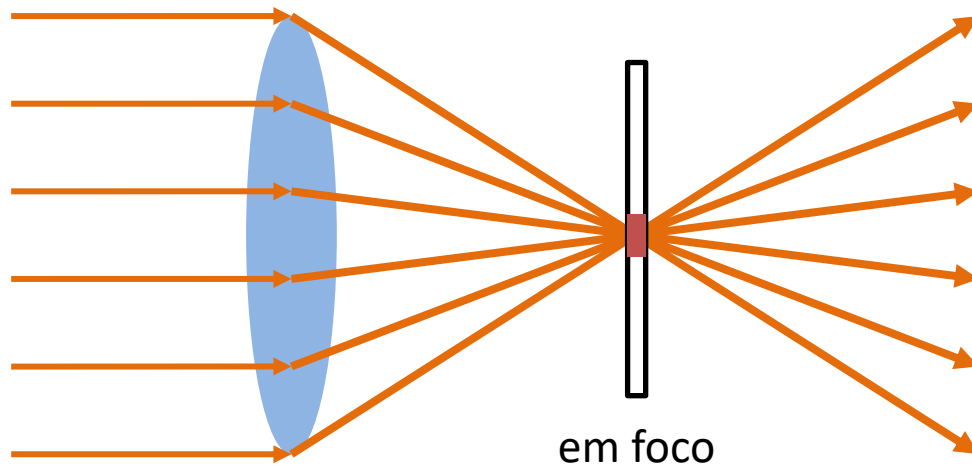


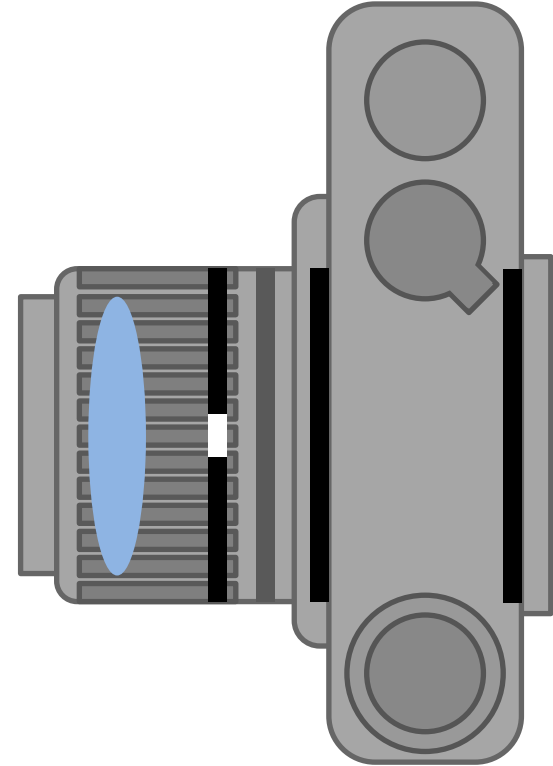
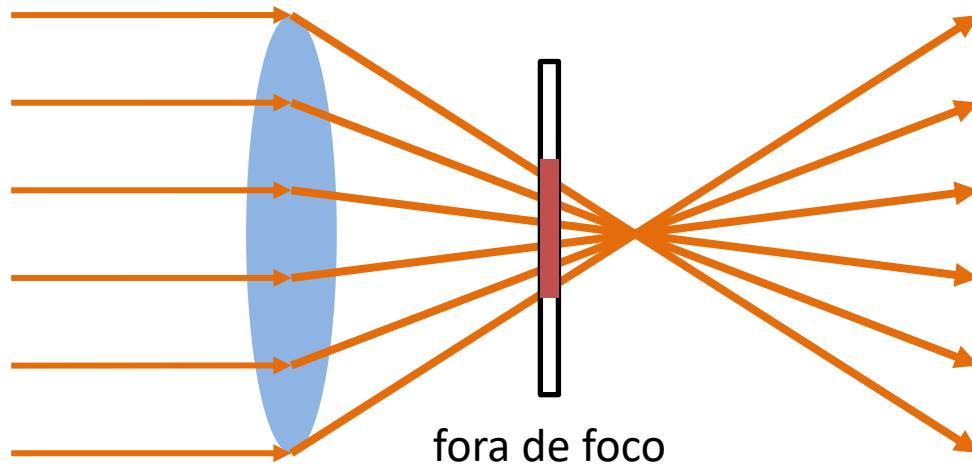


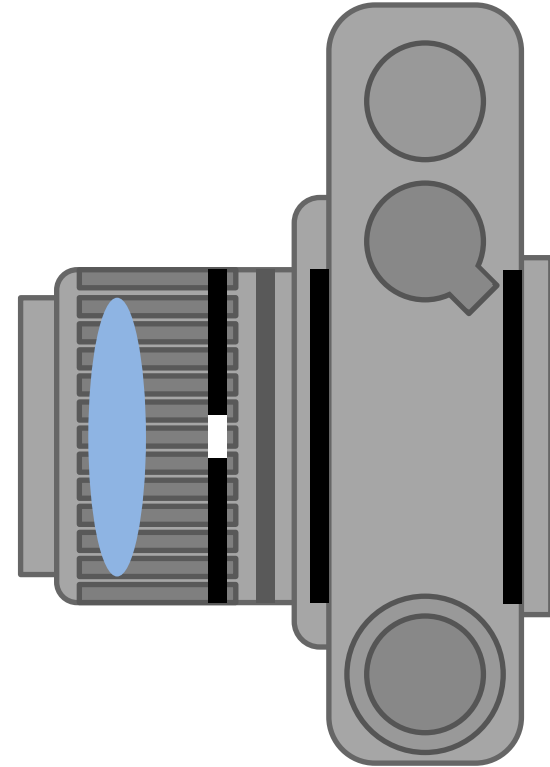
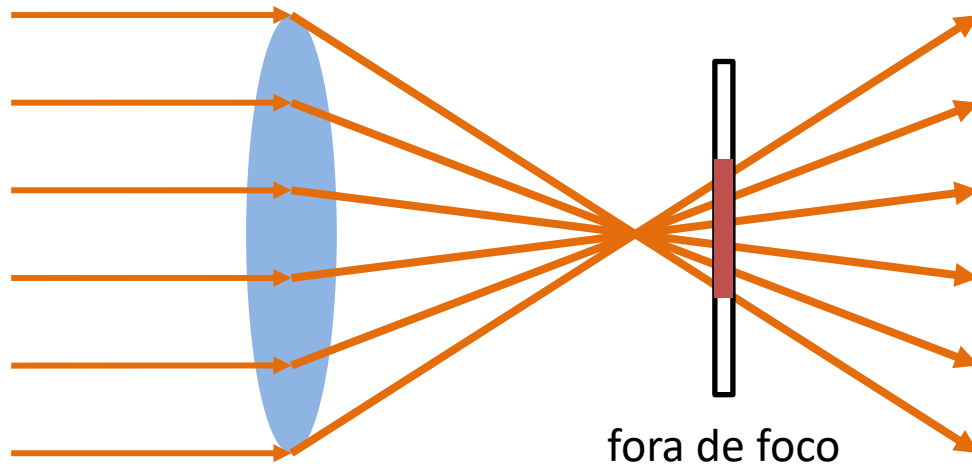


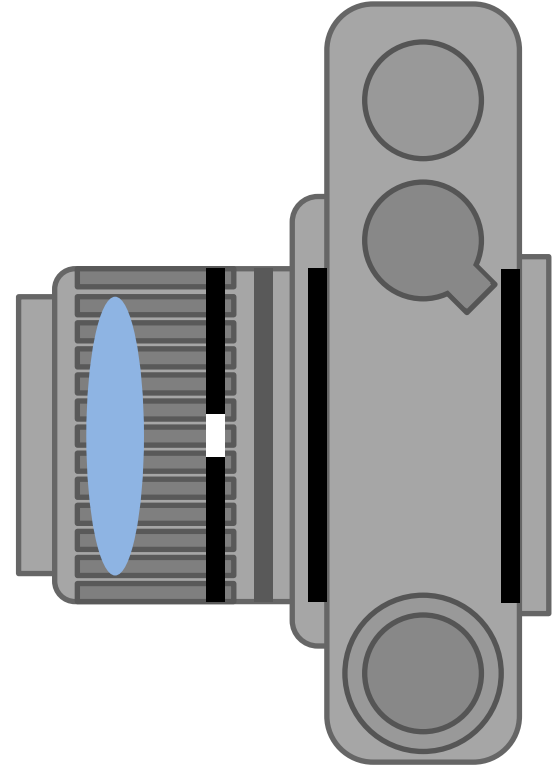
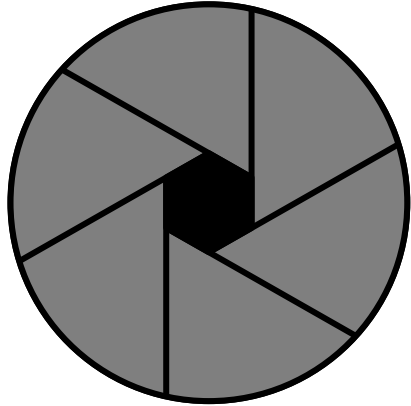


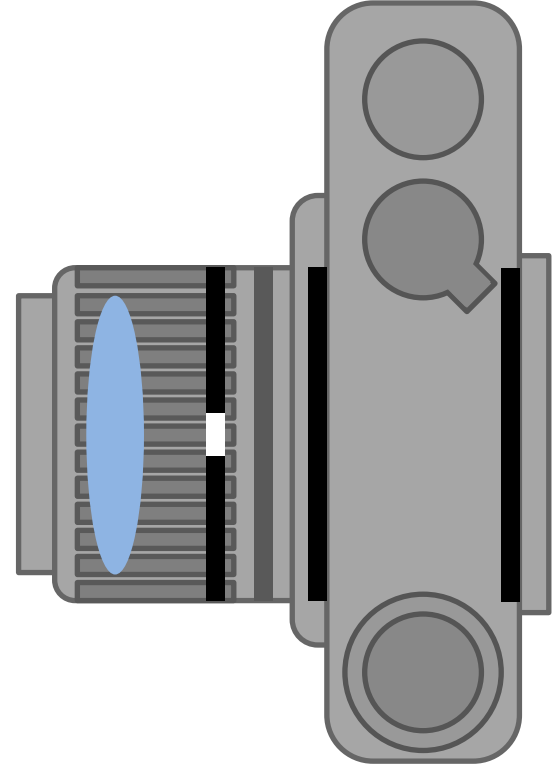
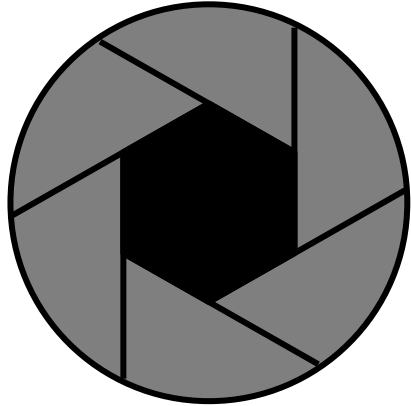


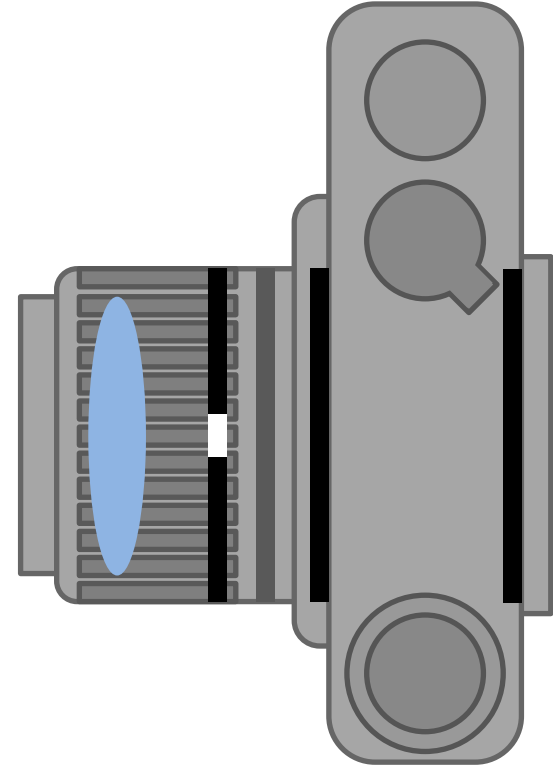
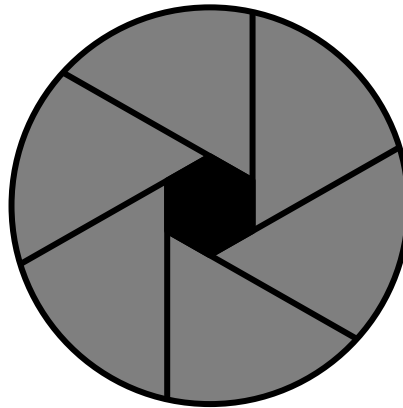
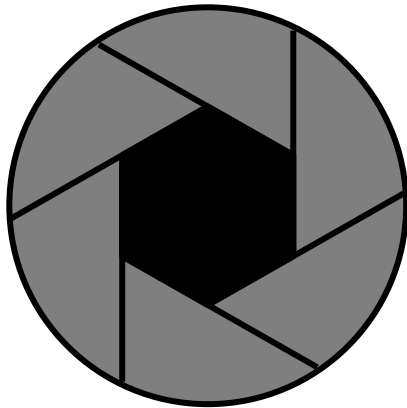


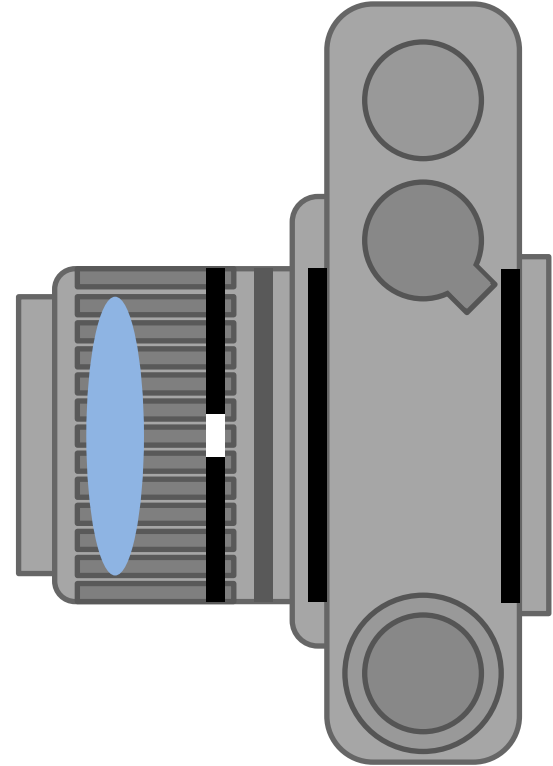
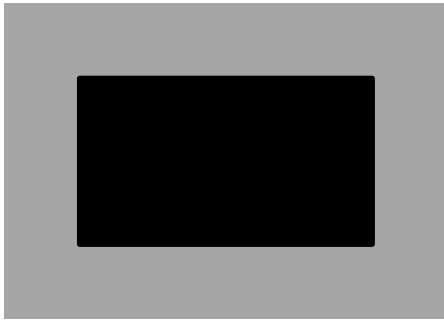


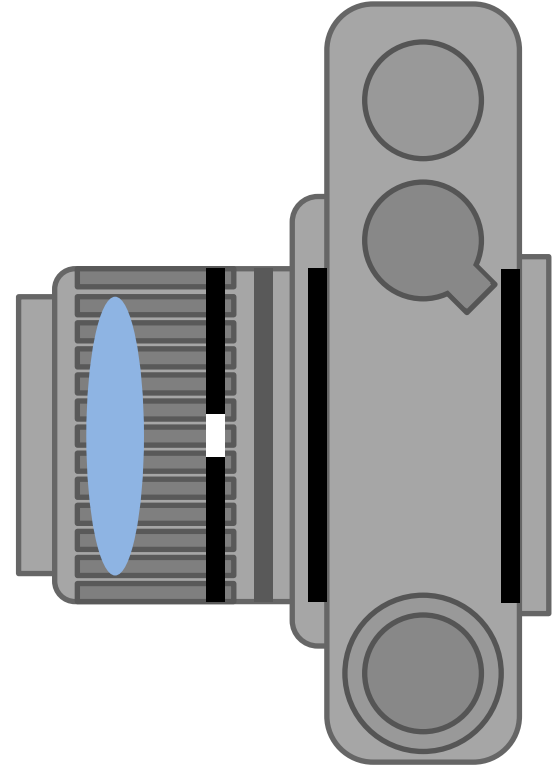
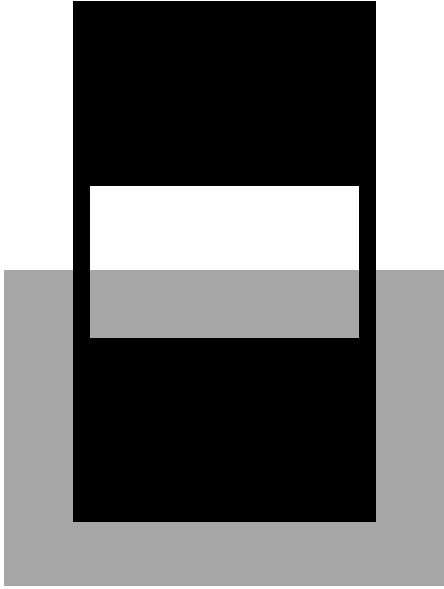


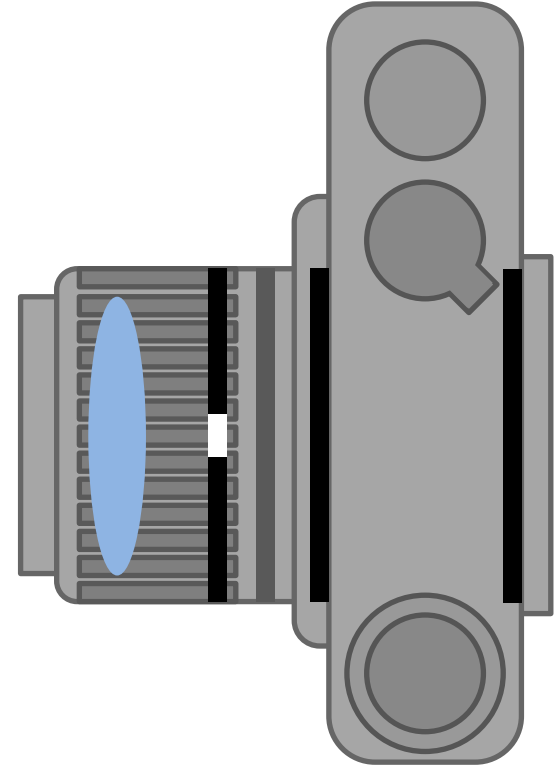
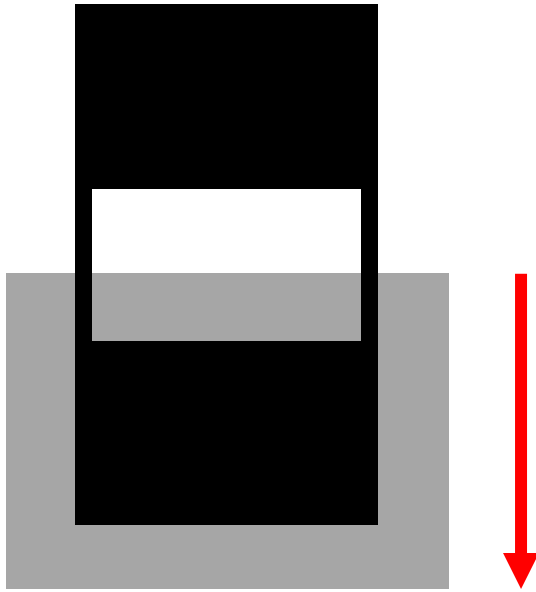


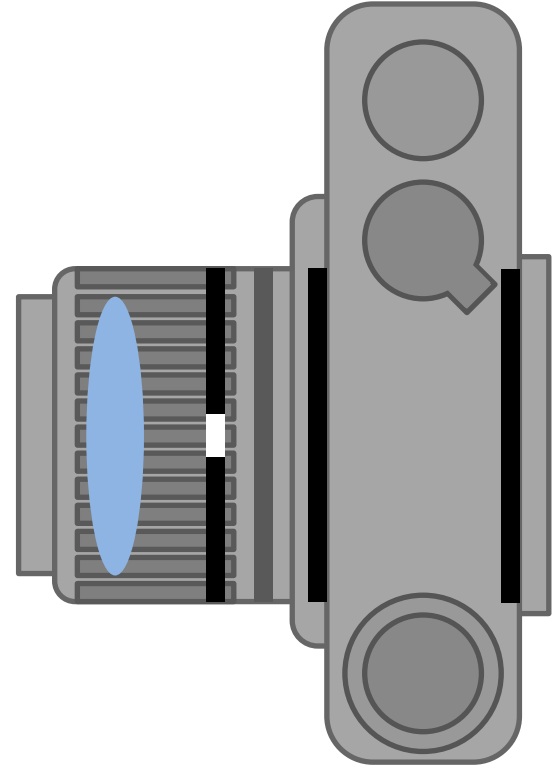
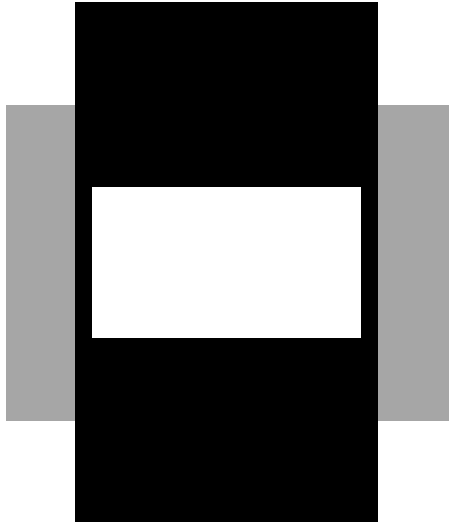


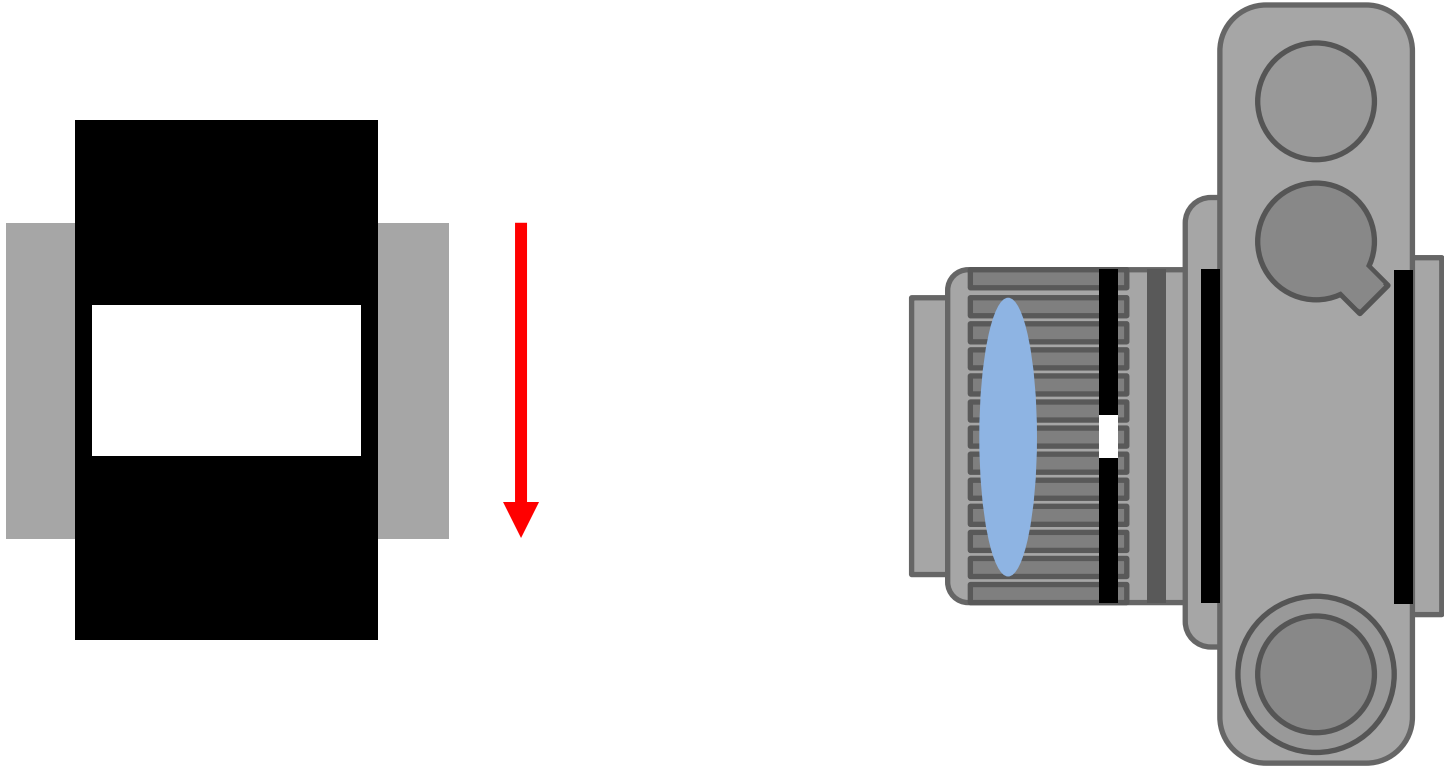


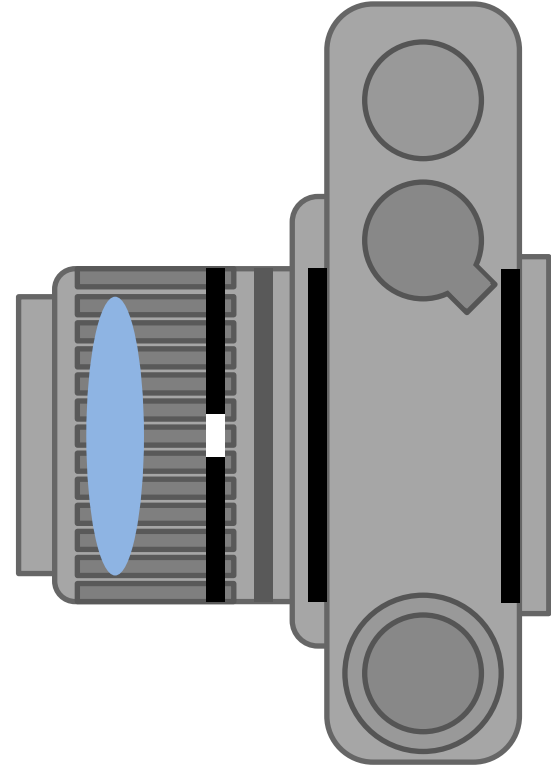
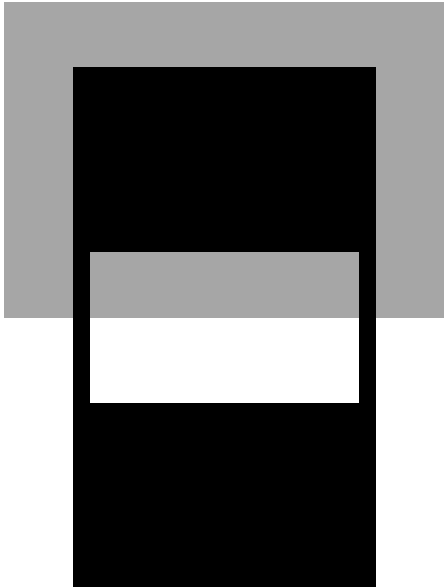


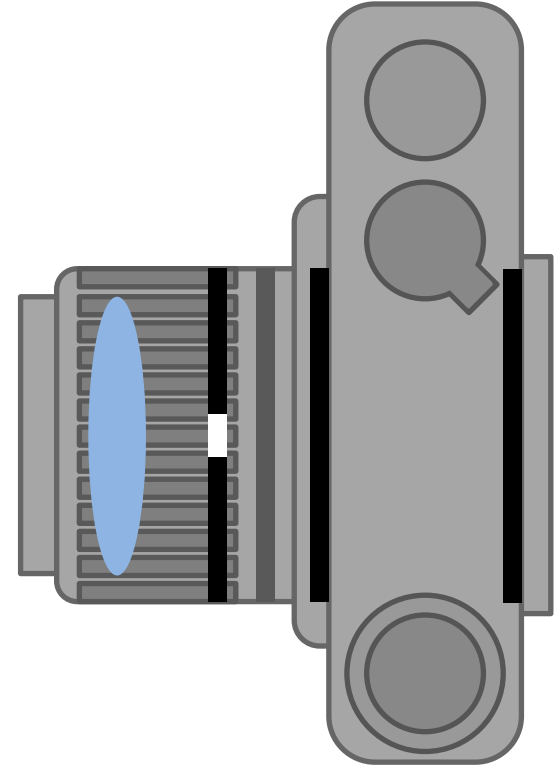
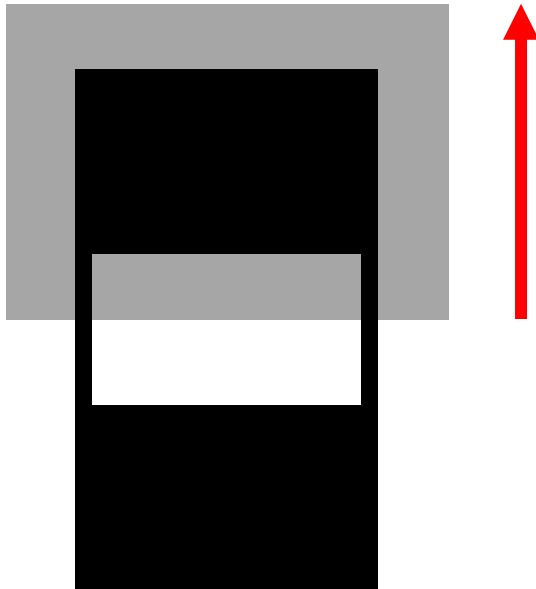


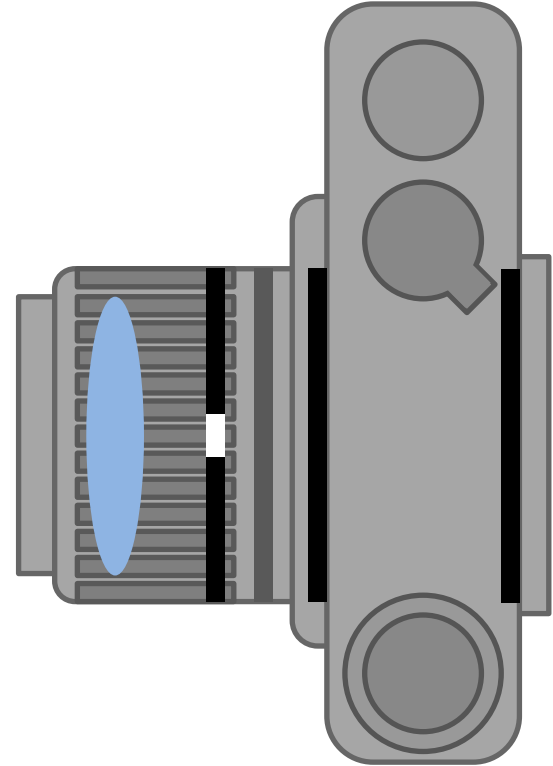
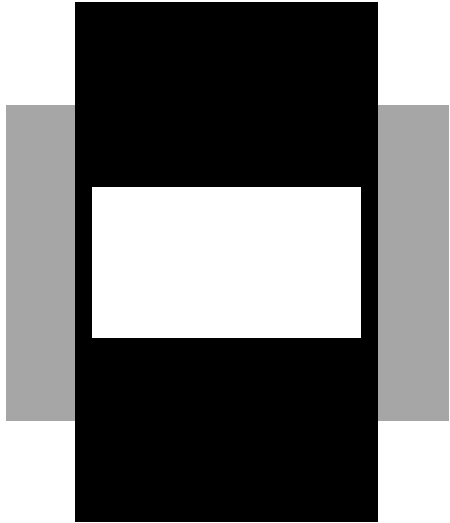


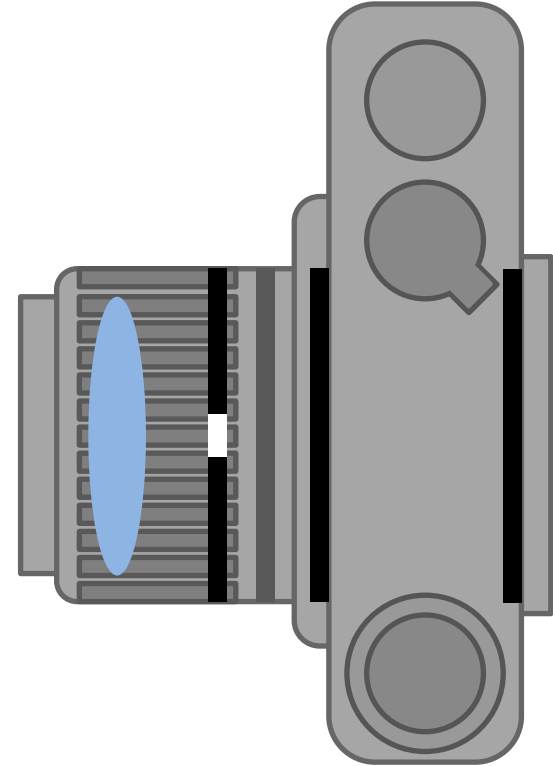
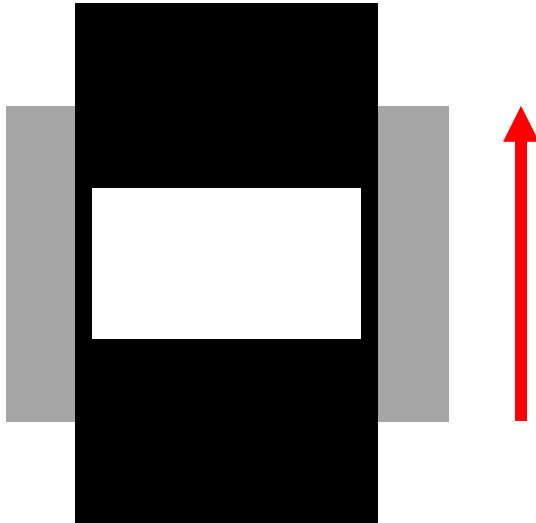












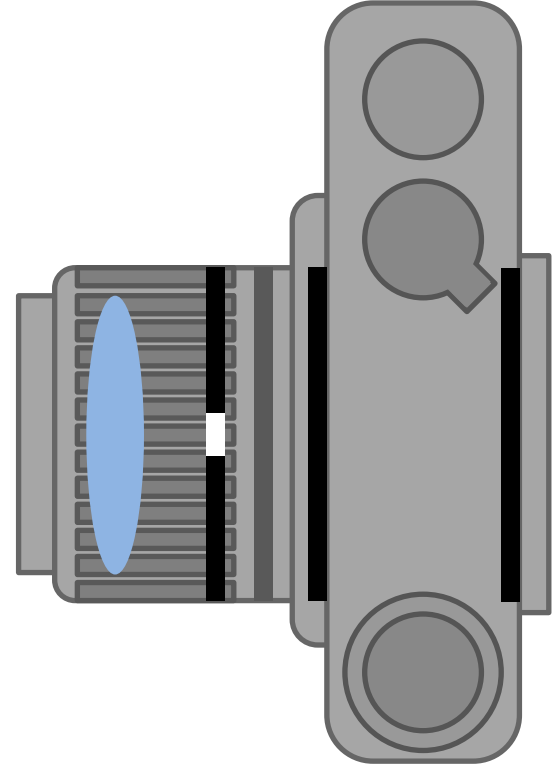
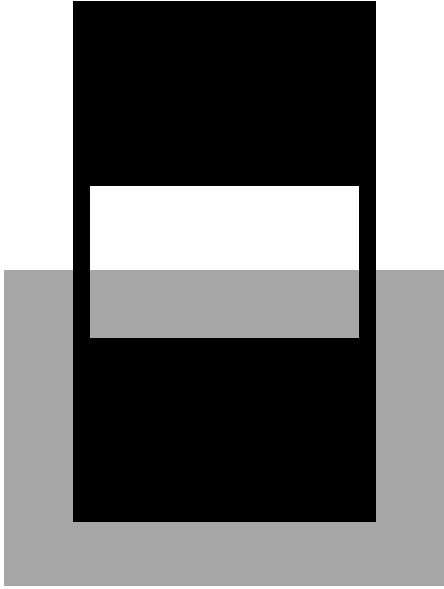


Imagem de intensidades (níveis de cinza):



Imagem colorida (RGB):



Imagem de intensidades (níveis de cinza):



Imagem colorida (RGB):



Imagem de intensidades (níveis de cinza):

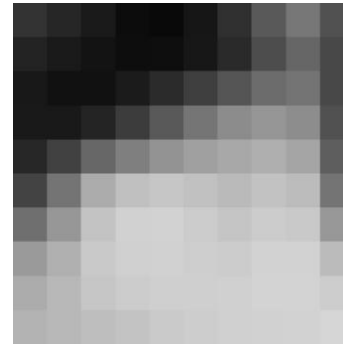


Imagem colorida (RGB):

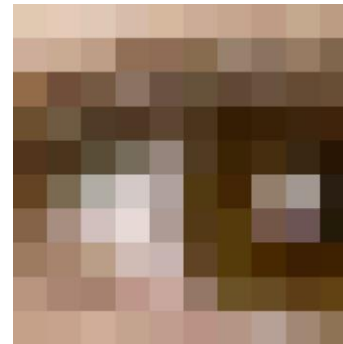
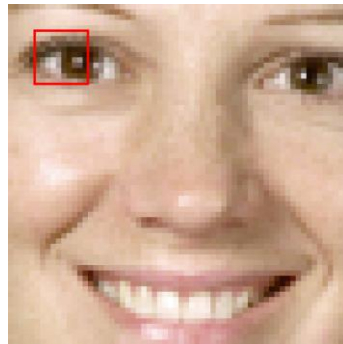


Imagem de intensidades (níveis de cinza):

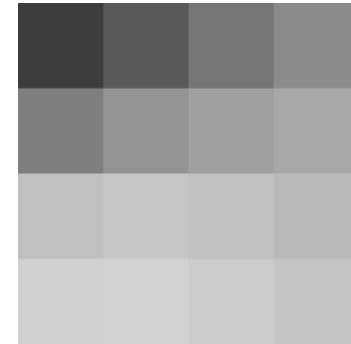
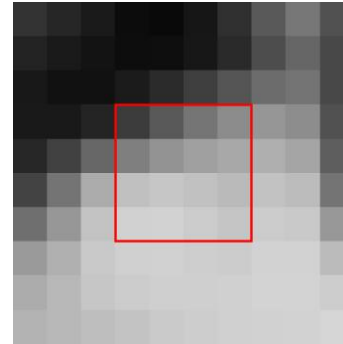
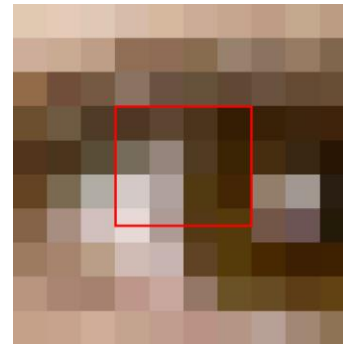
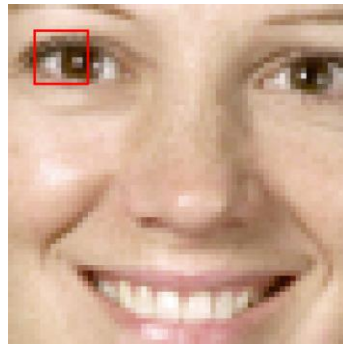
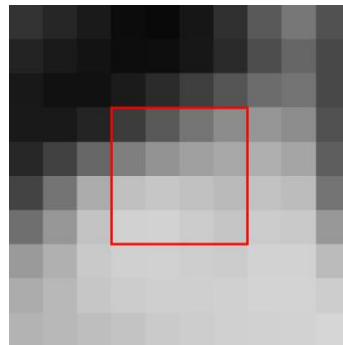


Imagem colorida (RGB):



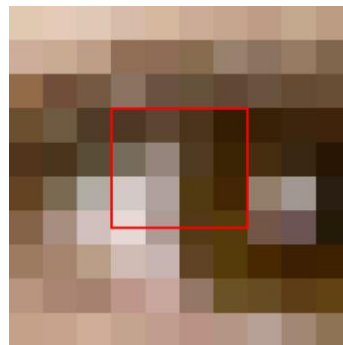
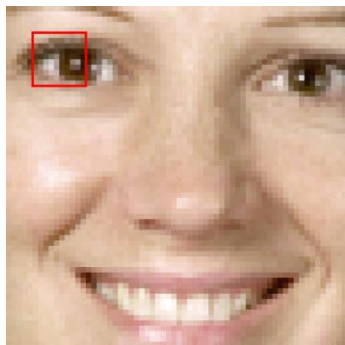
A imagem digital

Imagem de intensidades (níveis de cinza):



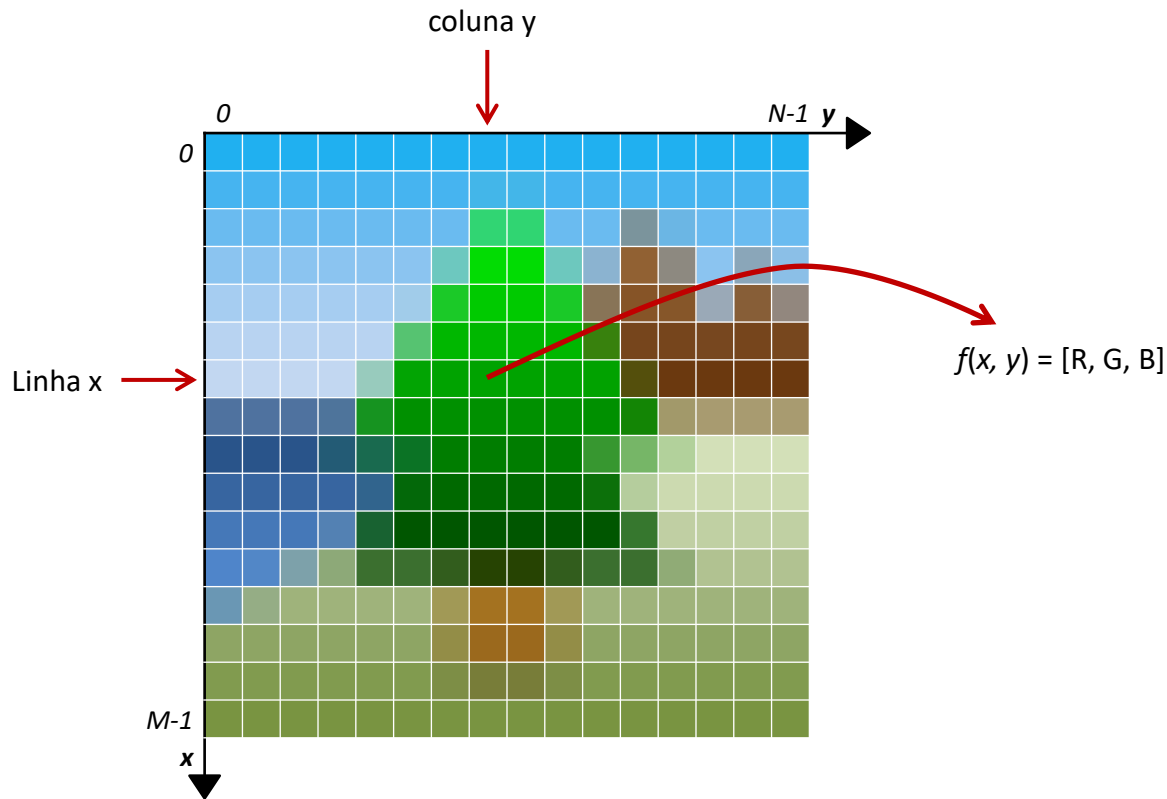
60	89	117	140
127	147	160	168
192	198	193	186
209	210	204	197

Imagem colorida (RGB):



78	92	75	51
56	70	52	30
36	49	28	3
118	149	80	59
108	133	58	36
91	124	33	3
211	176	81	69
202	161	57	38
200	158	17	4
231	174	83	85
218	155	57	58
214	150	21	11

A imagem digital



M linhas
N colunas
M × N pixels





vermelho – R (red)





vermelho – R (red)



verde – G (green)





vermelho – R (red)



verde – G (green)



azul – B (blue)





vermelho – R (red)



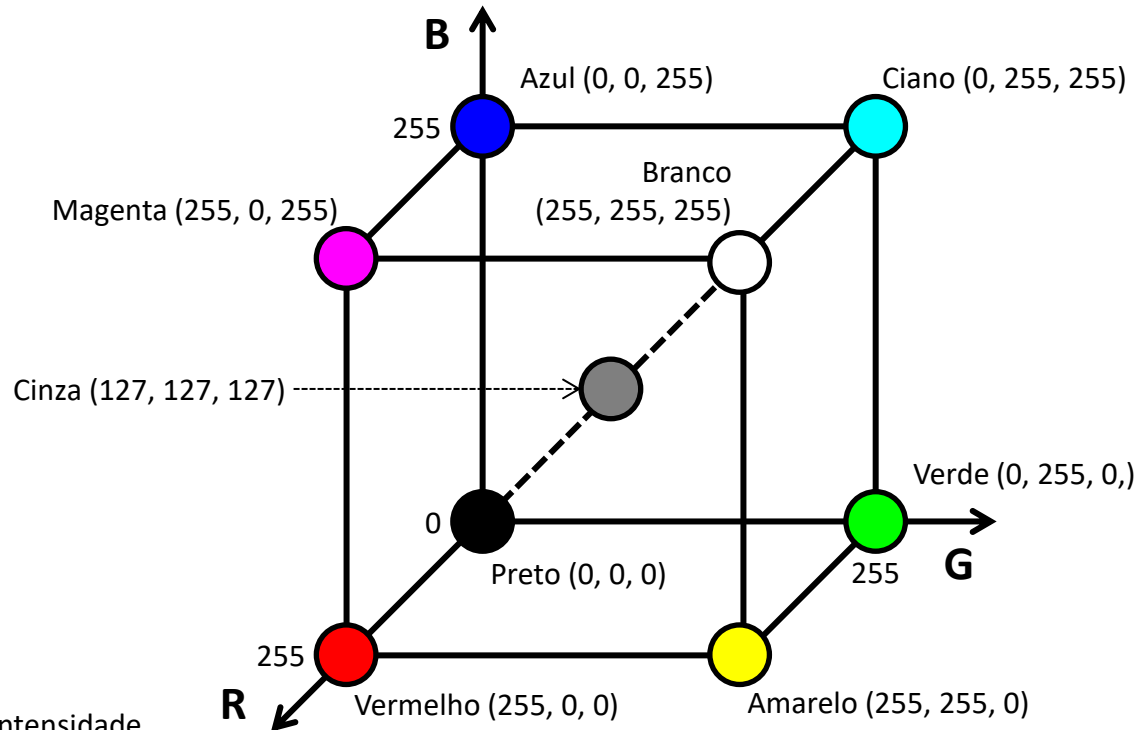
verde – G (green)



azul – B (blue)



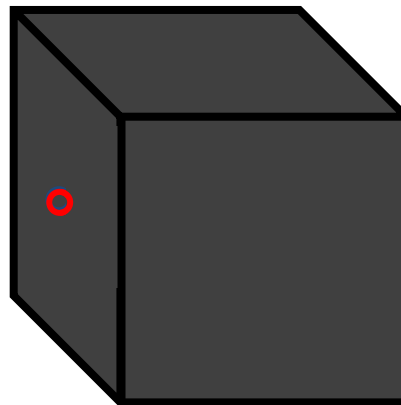
O espaço de cores RGB

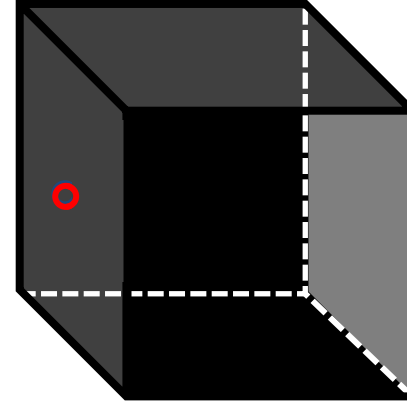


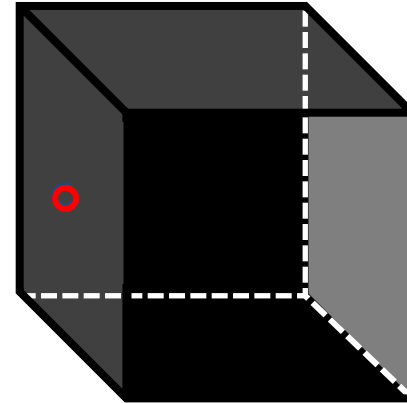
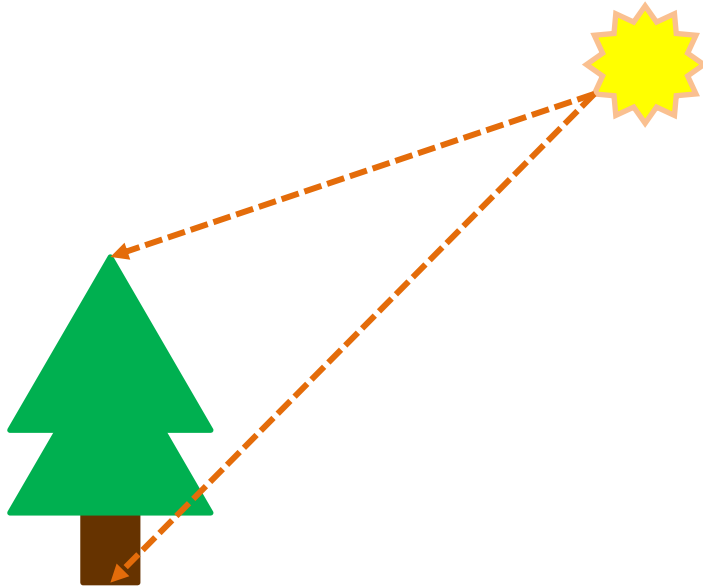
- 8 bits por canal
 - 256 níveis de intensidade
- 24 bits
 - 16.777.216 cores

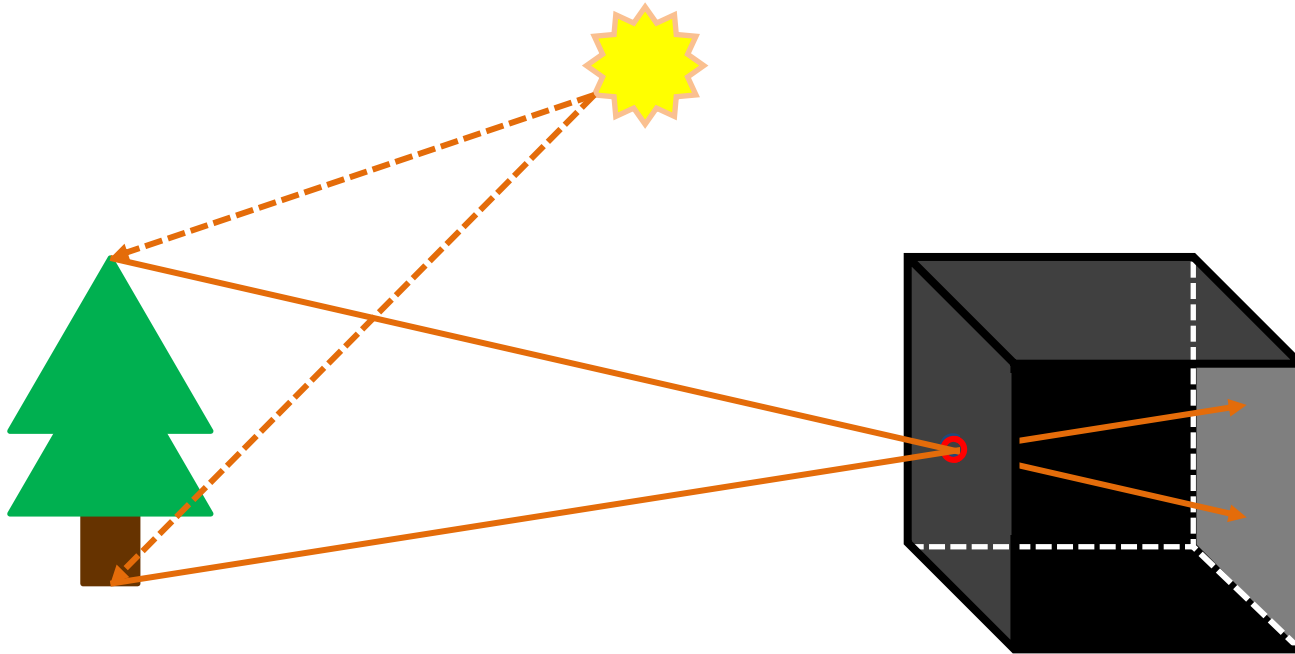


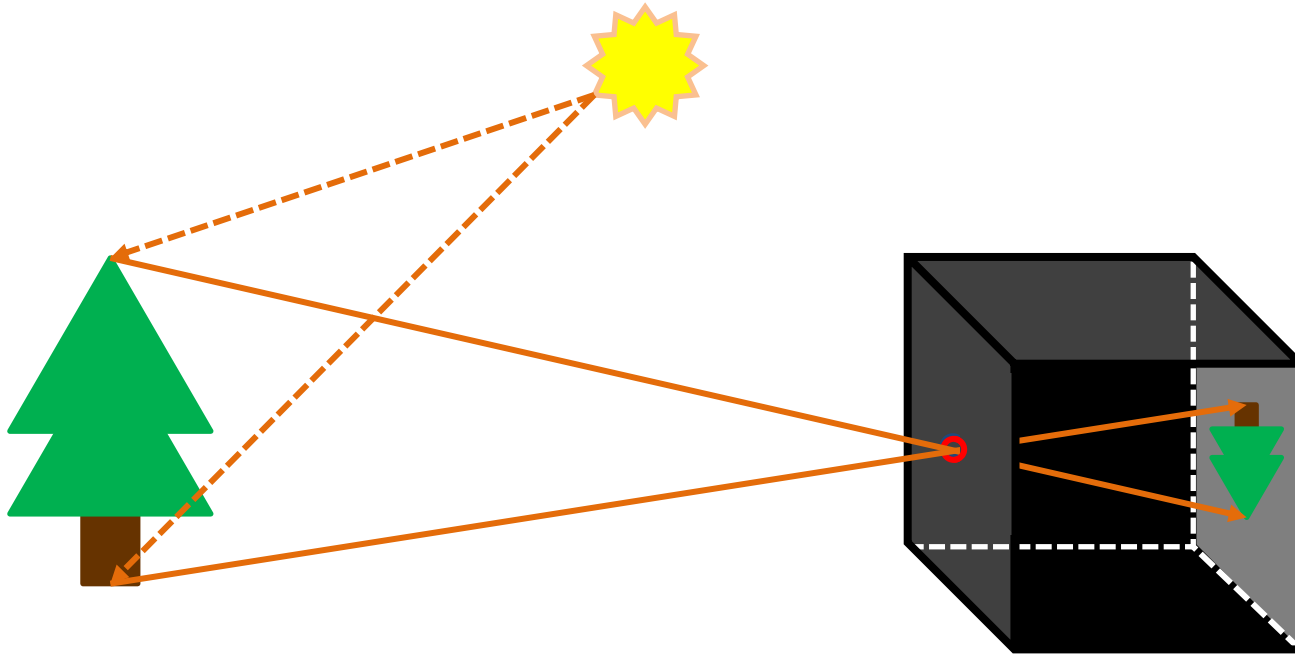


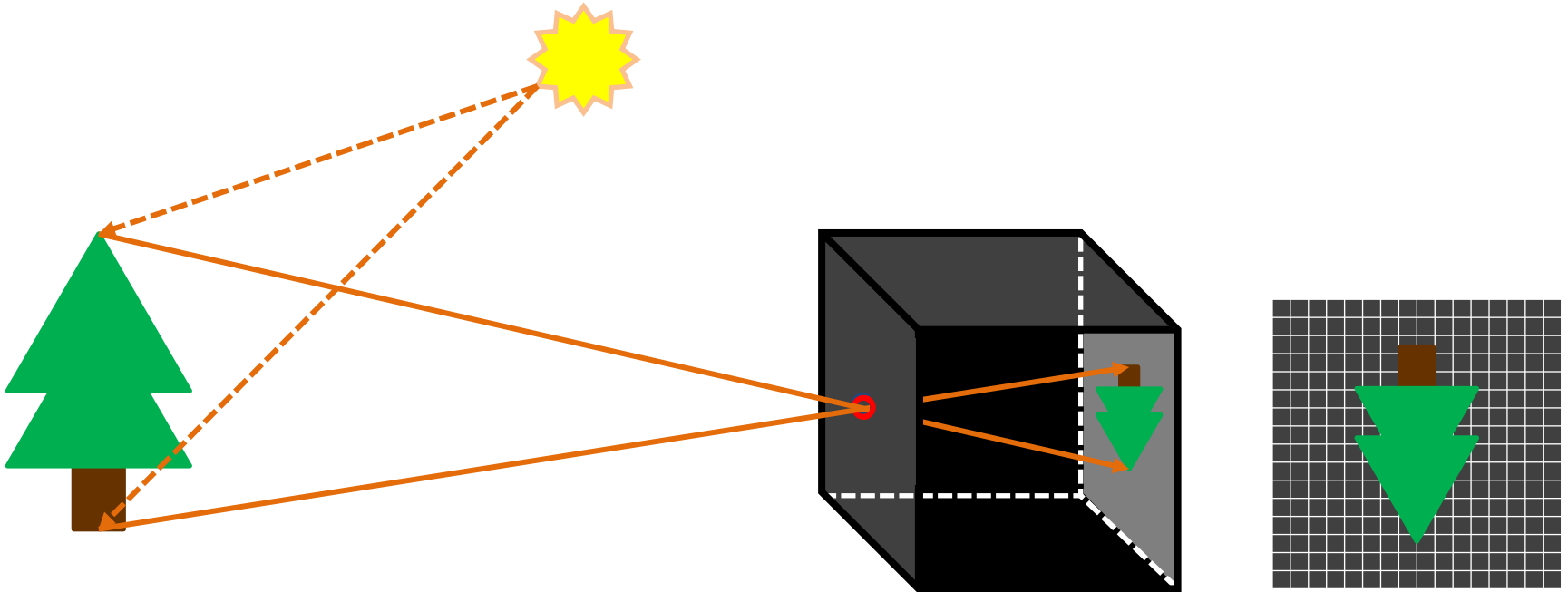




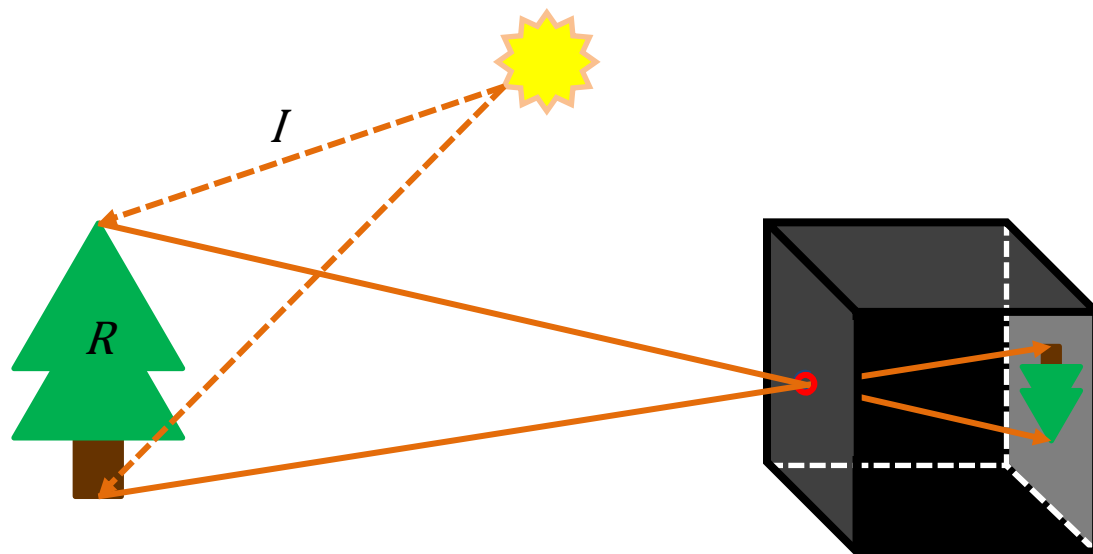








Aquisição de imagens



I : iluminância
 $0 < i(x,y) < \infty$

R : refletância
 $0 < r(x,y) < 1$

$$f(x, y) = i(x, y) \times r(x, y)$$

$i(x, y)$ (em lux ou lúmen/m²)

900	Dia ensolarado
-----	----------------

100	Dia nublado
-----	-------------

10	Escritório
----	------------

0,001	Noite clara
-------	-------------

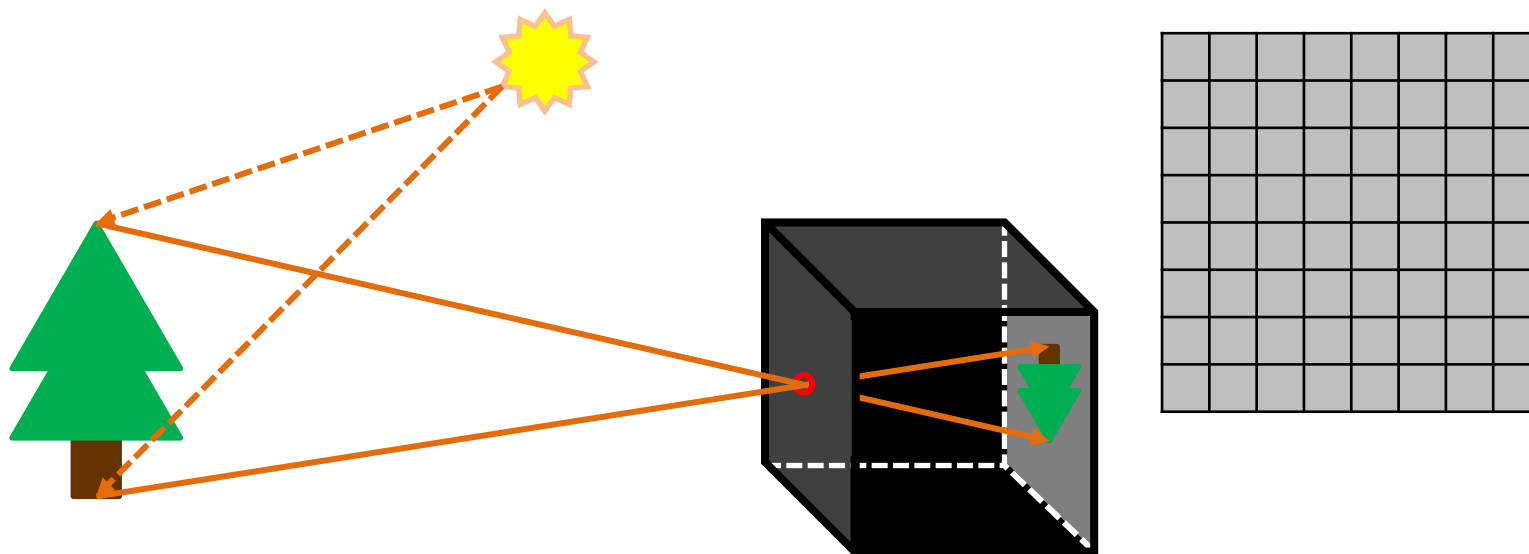
$r(x, y)$

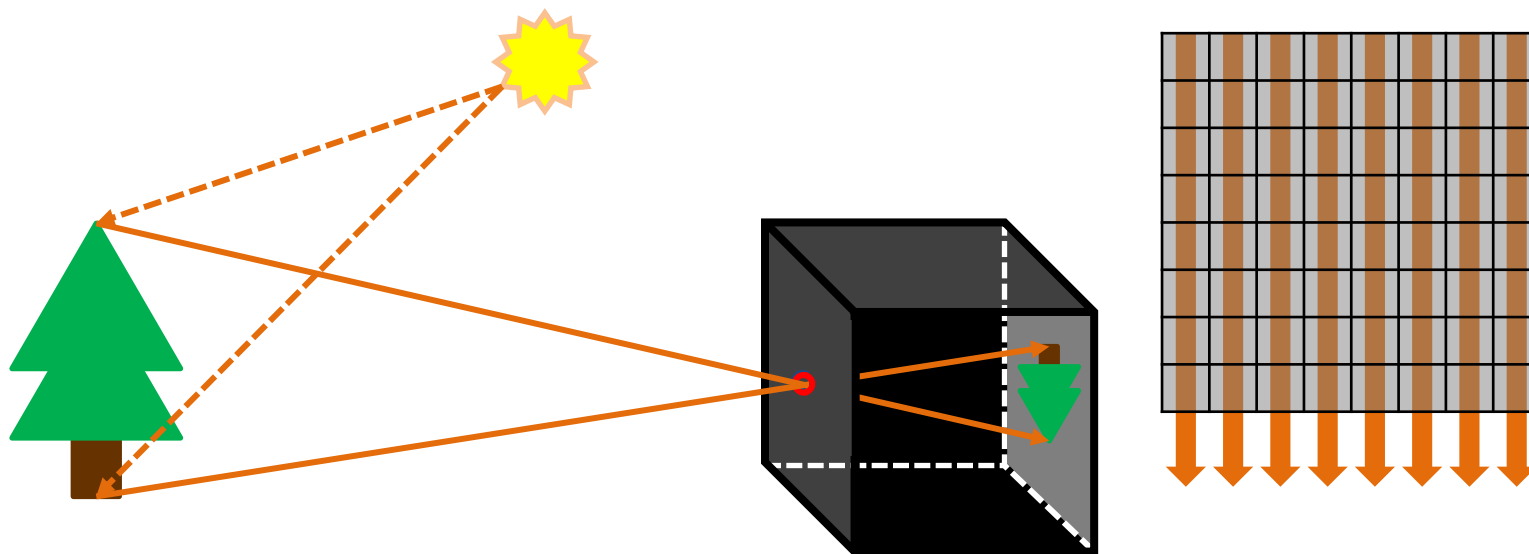
0,93	Neve
------	------

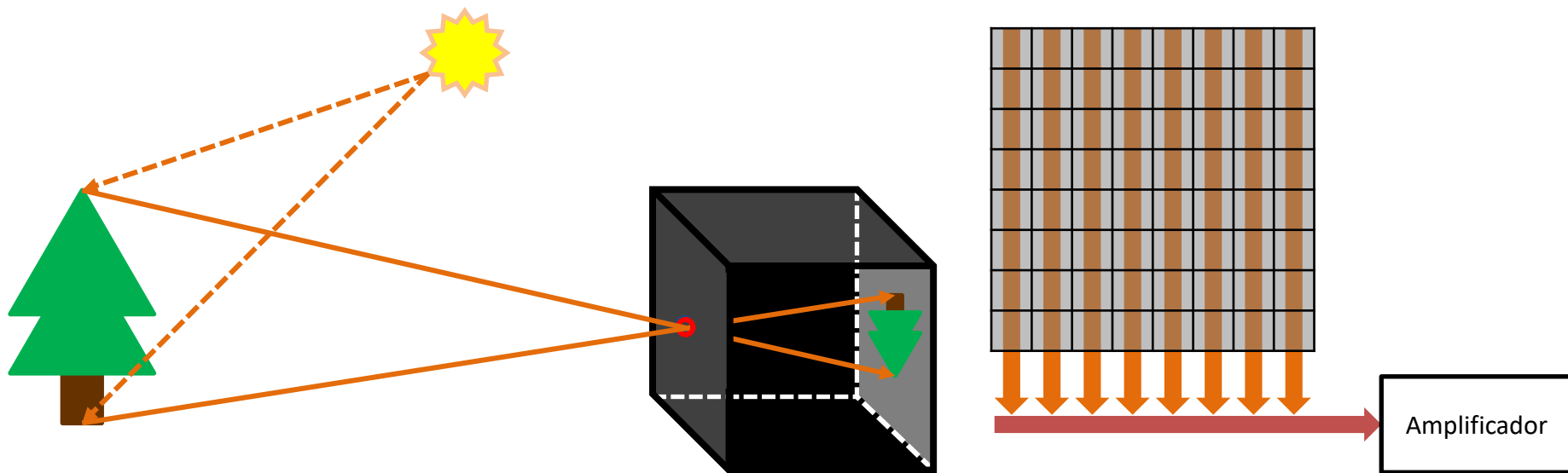
0,80	Parede branca
------	---------------

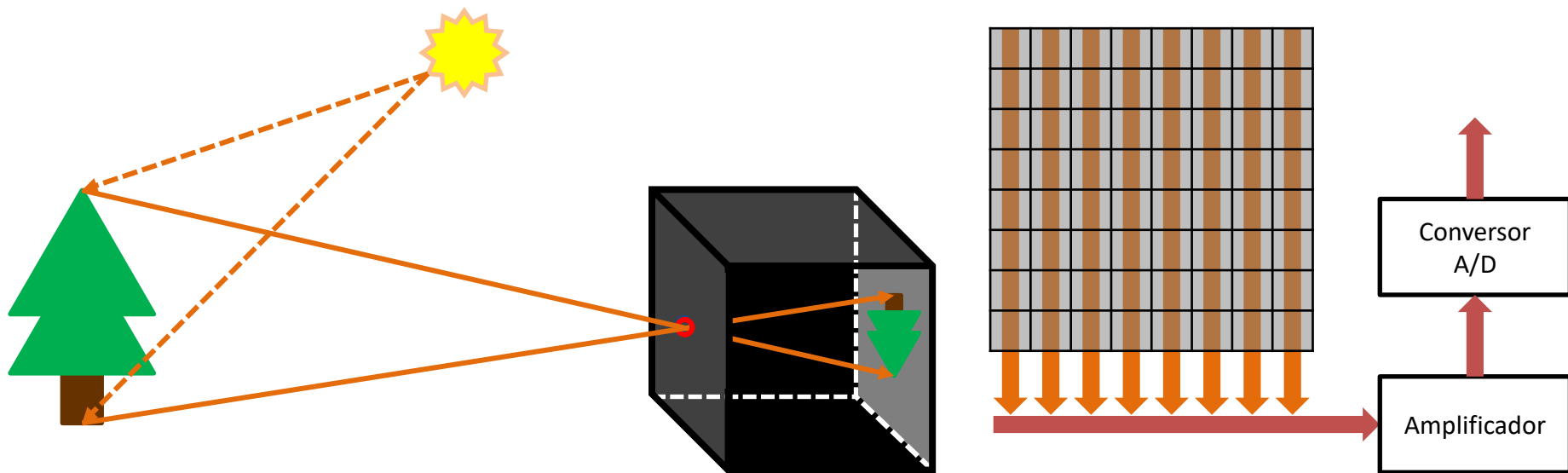
0,65	Aço inoxidável
------	----------------

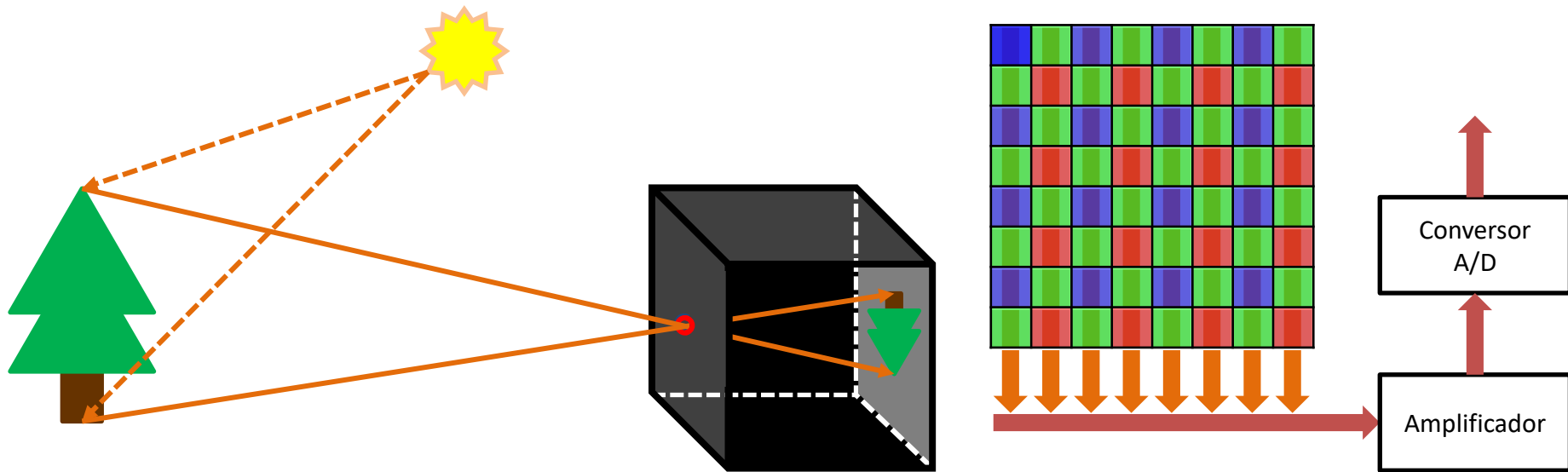
0,01	Veludo preto
------	--------------











	0	1	2	3	4	5	6	7
0	Blue	Green	Blue	Green	Blue	Green	Blue	Green
1	Green	Red	Green	Red	Green	Red	Green	Red
2	Blue	Green	Blue	Green	Blue	Green	Blue	Green
3	Green	Red	Green	Red	Green	Red	Green	Red
4	Blue	Green	Blue	Green	Blue	Green	Blue	Green
5	Green	Red	Green	Red	Green	Red	Green	Red
6	Blue	Green	Blue	Green	Blue	Green	Blue	Green
7	Green	Red	Green	Red	Green	Red	Green	Red

Sensores CCD e padrão de Bayer

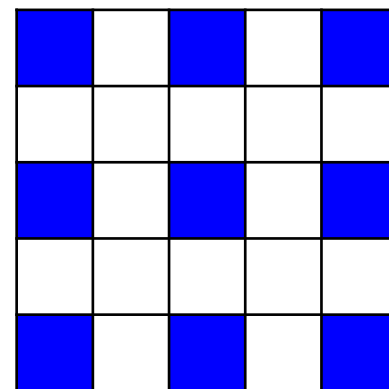
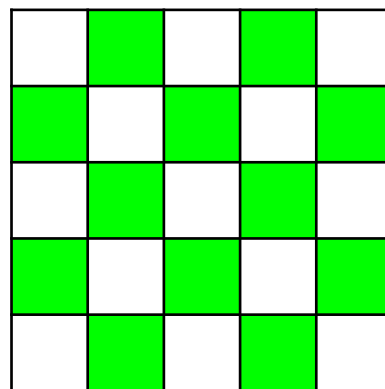
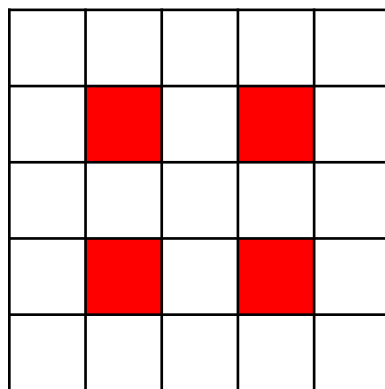
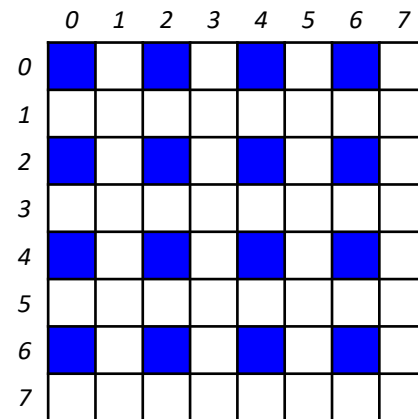
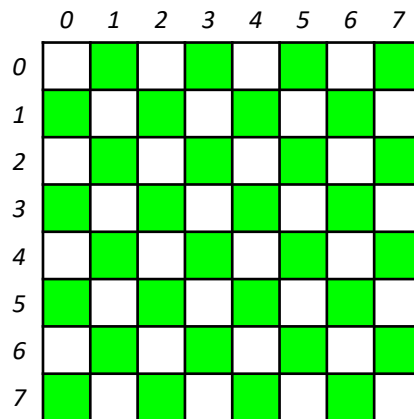
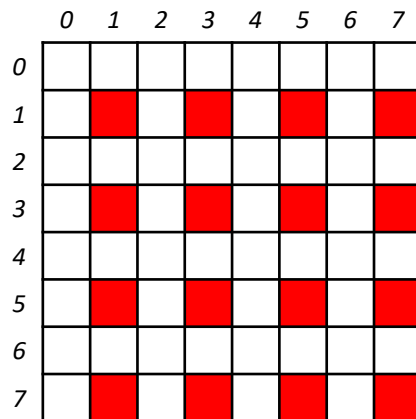
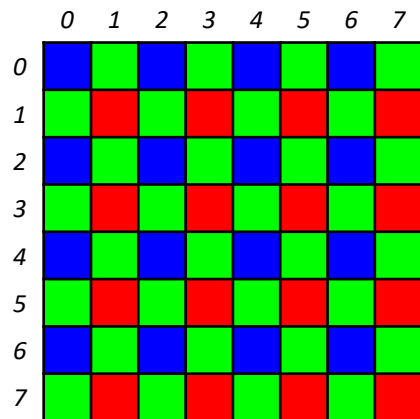
	0	1	2	3	4	5	6	7
0	Blue	Green	Blue	Green	Blue	Green	Blue	Green
1	Green	Red	Green	Red	Green	Red	Green	Red
2	Blue	Green	Blue	Green	Blue	Green	Blue	Green
3	Green	Red	Green	Red	Green	Red	Green	Red
4	Blue	Green	Blue	Green	Blue	Green	Blue	Green
5	Green	Red	Green	Red	Green	Red	Green	Red
6	Blue	Green	Blue	Green	Blue	Green	Blue	Green
7	Green	Red	Green	Red	Green	Red	Green	Red

	0	1	2	3	4	5	6	7
0								
1		Red		Red		Red		Red
2								
3		Red		Red		Red		Red
4								
5		Red		Red		Red		Red
6								
7		Red		Red		Red		Red

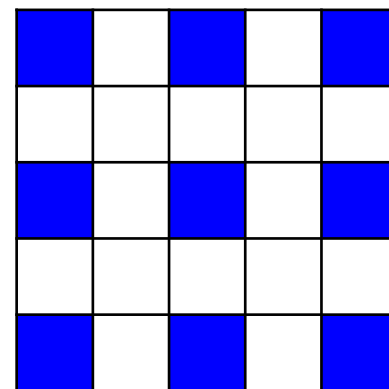
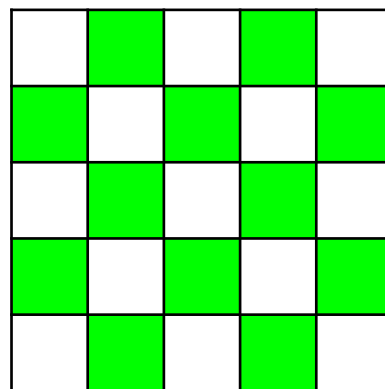
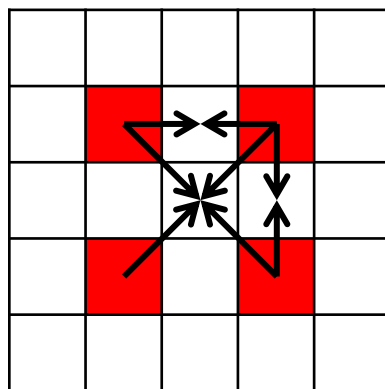
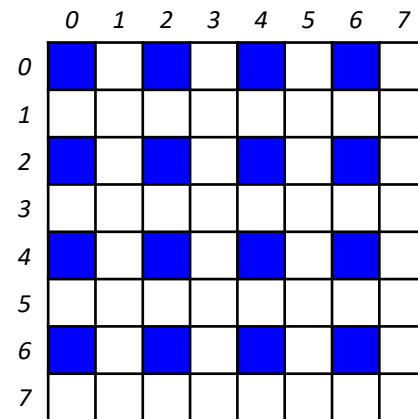
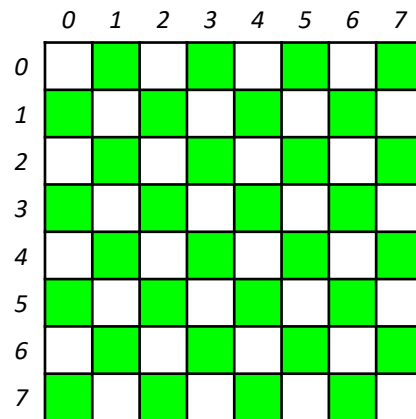
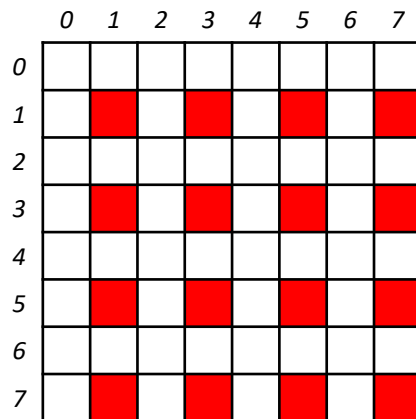
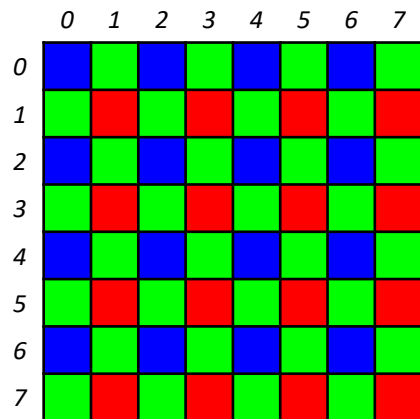
	0	1	2	3	4	5	6	7
0		Green		Green		Green		Green
1	Green		Green		Green		Green	
2		Green		Green		Green		Green
3	Green		Green		Green		Green	
4		Green		Green		Green		Green
5	Green		Green		Green		Green	
6		Green		Green		Green		Green
7	Green		Green		Green		Green	

	0	1	2	3	4	5	6	7
0	Blue		Blue		Blue		Blue	
1								
2	Blue		Blue		Blue		Blue	
3								
4	Blue		Blue		Blue		Blue	
5								
6	Blue		Blue		Blue		Blue	
7								

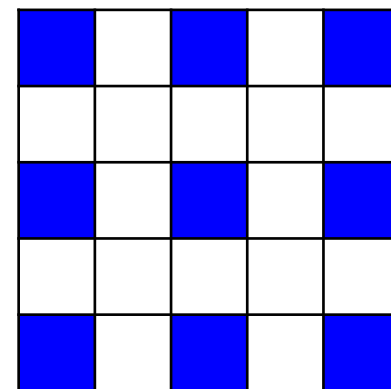
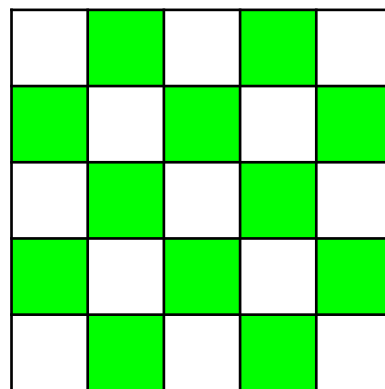
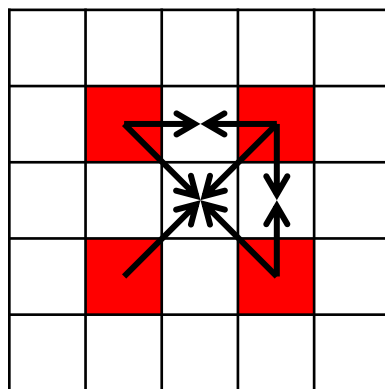
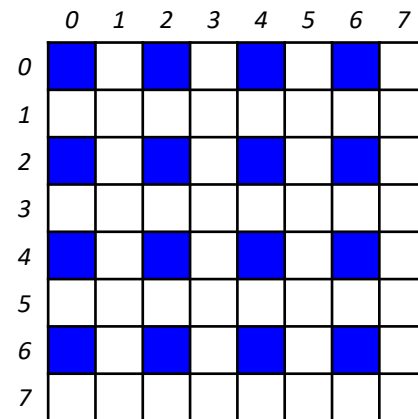
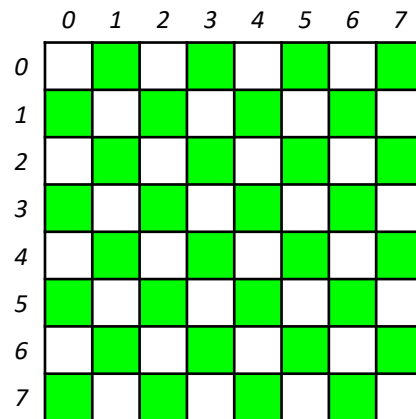
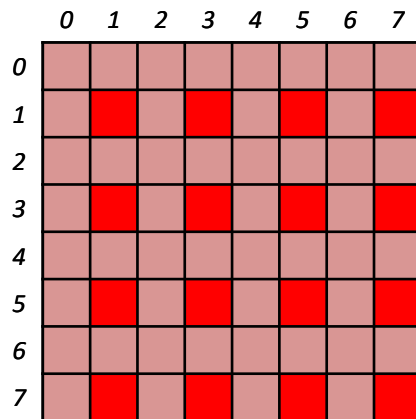
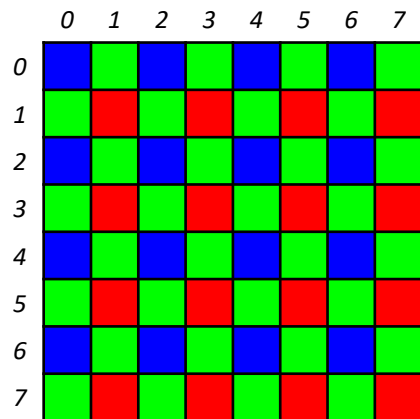
Sensores CCD e padrão de Bayer



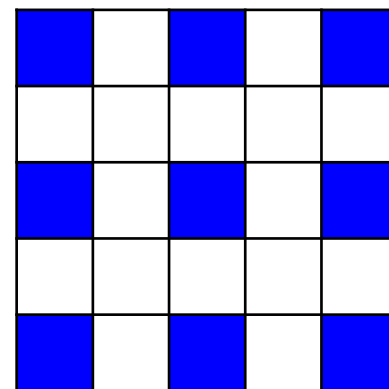
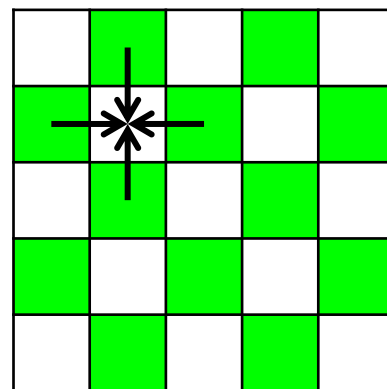
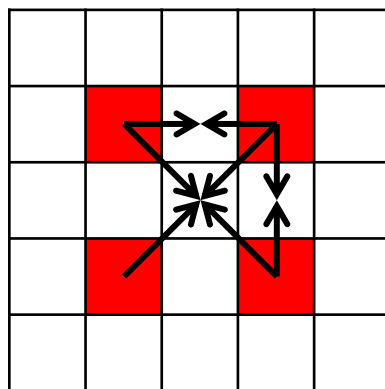
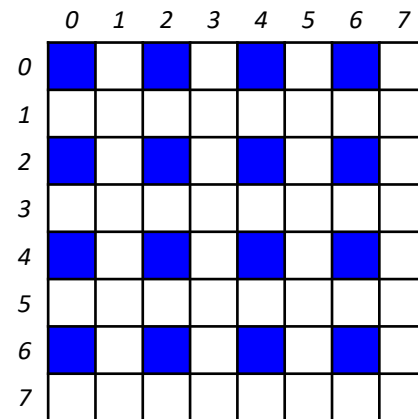
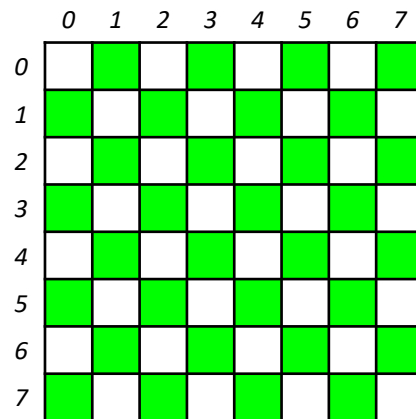
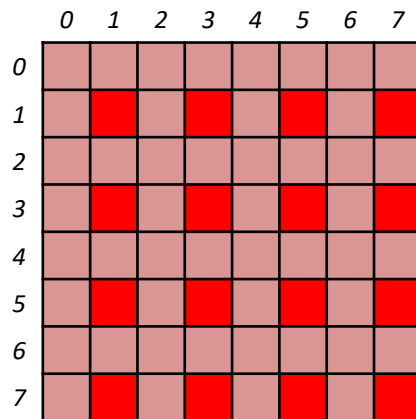
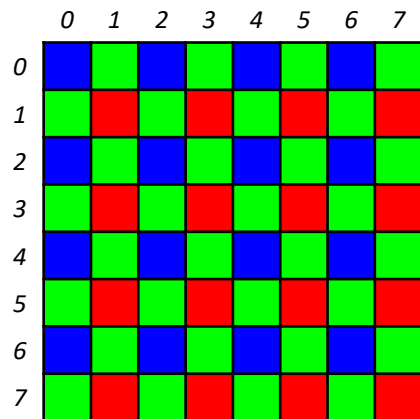
Sensores CCD e padrão de Bayer



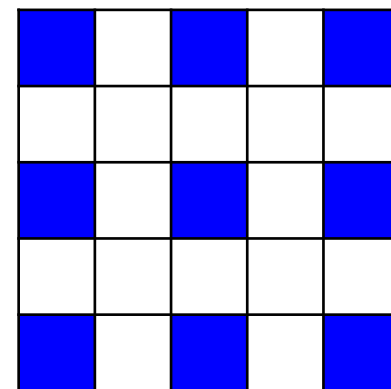
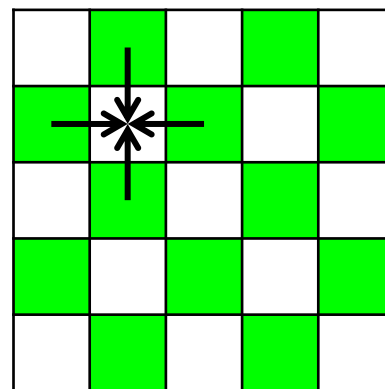
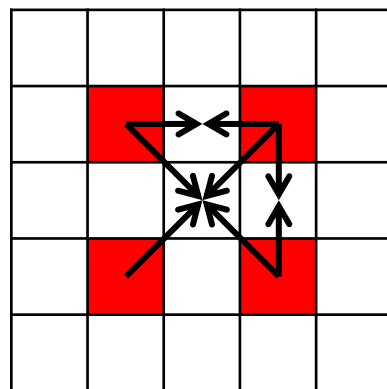
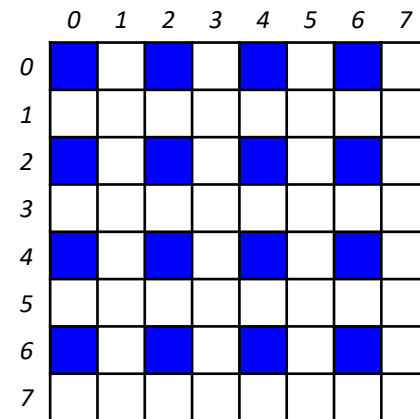
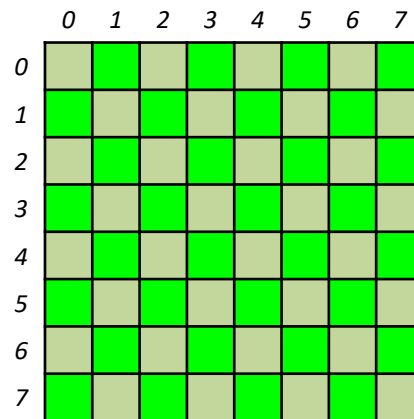
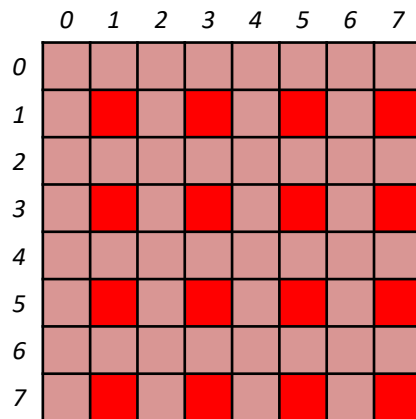
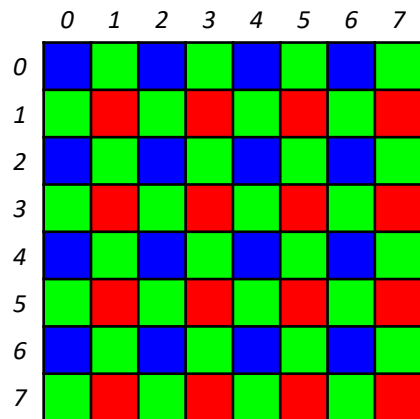
Sensores CCD e padrão de Bayer



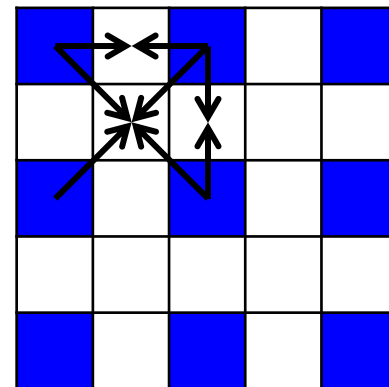
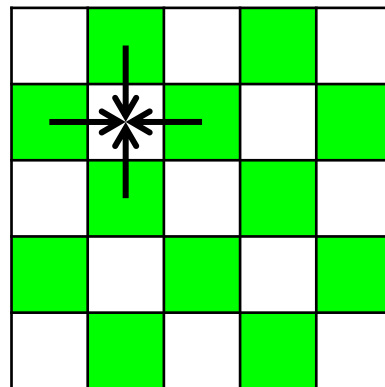
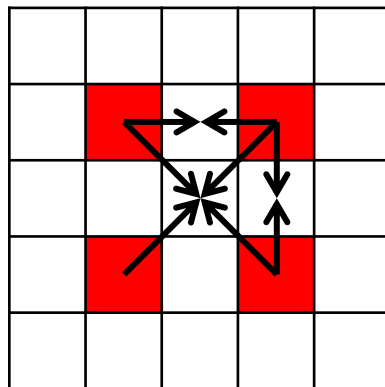
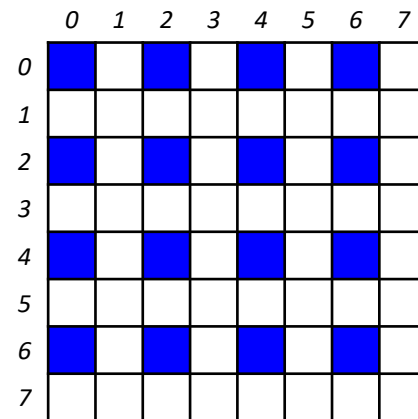
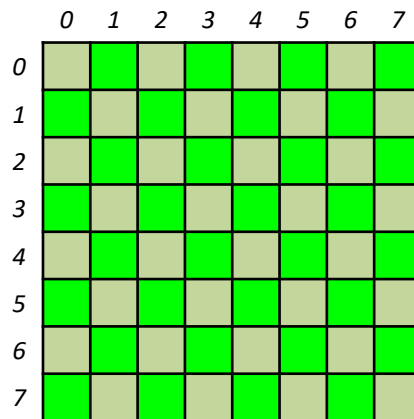
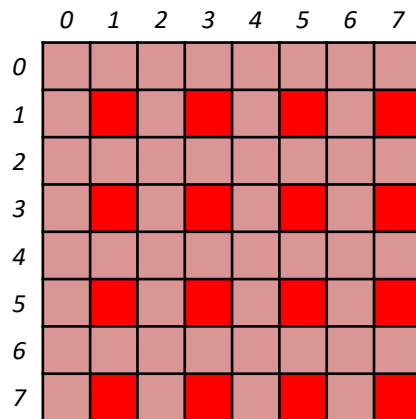
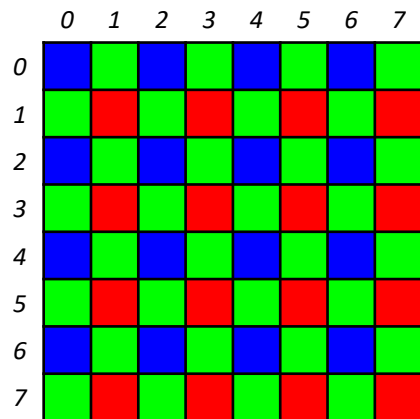
Sensores CCD e padrão de Bayer



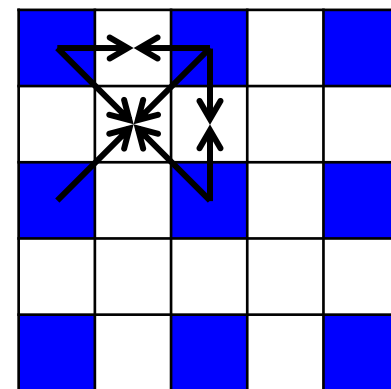
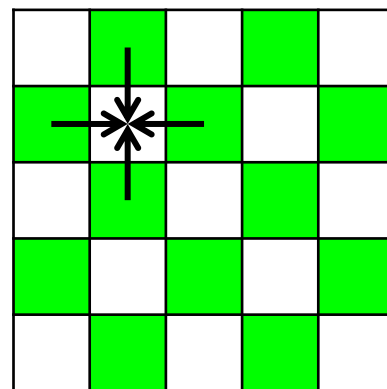
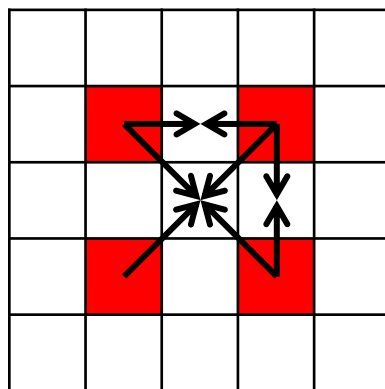
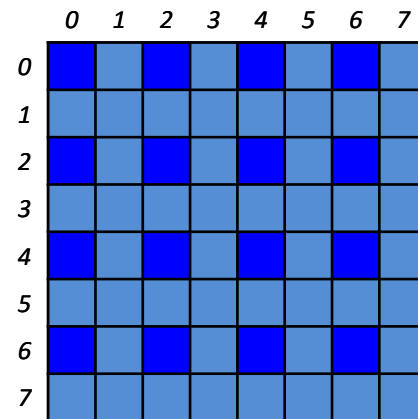
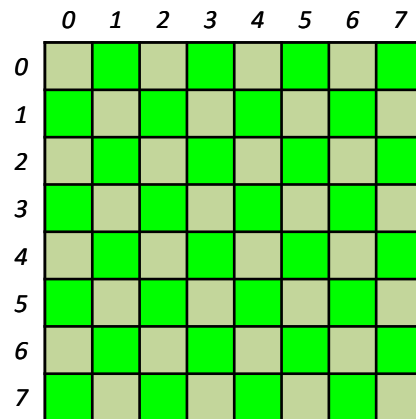
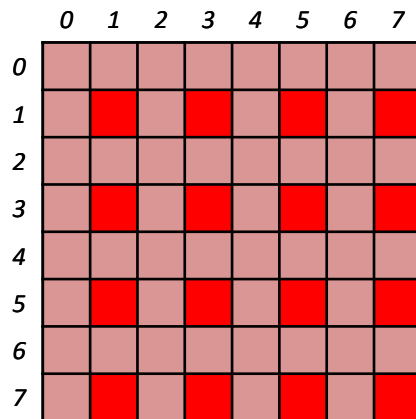
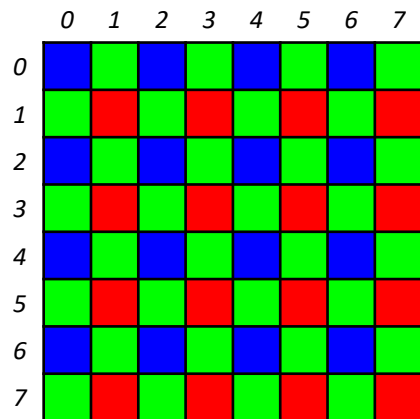
Sensores CCD e padrão de Bayer



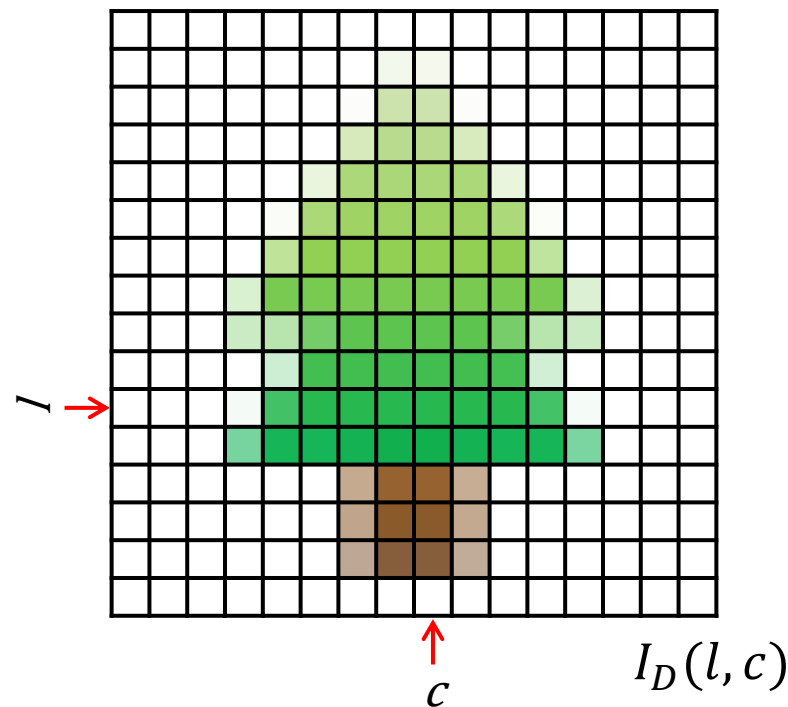
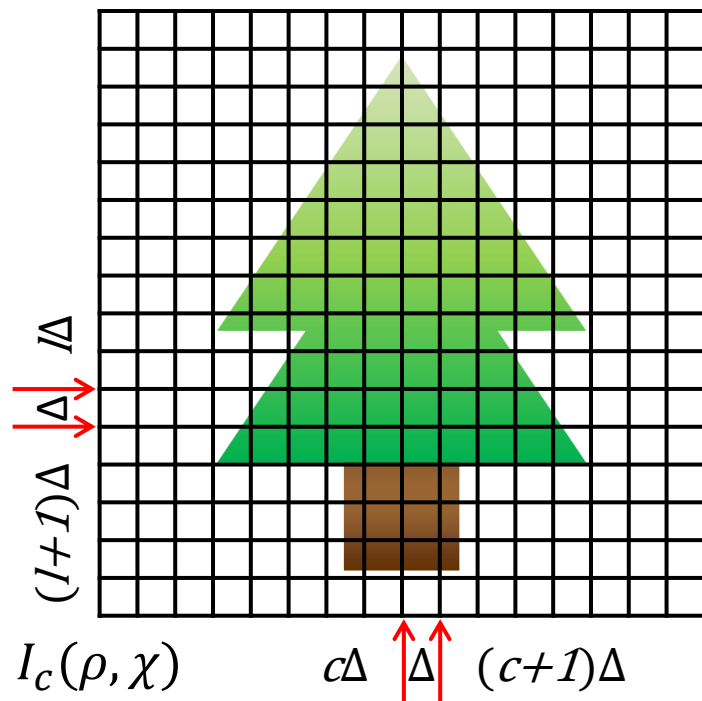
Sensores CCD e padrão de Bayer



Sensores CCD e padrão de Bayer



Amostragem



$$I_D = \frac{1}{\Delta^2} \int_{l\Delta}^{(l+1)\Delta} \int_{c\Delta}^{(c+1)\Delta} I_c(\rho, \chi) \delta\rho \delta\chi$$

Baseado em: Alan Peters, 2019

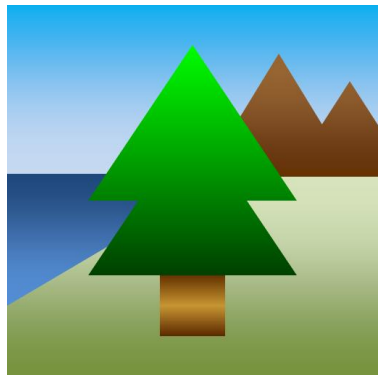


Imagem RGB contínua

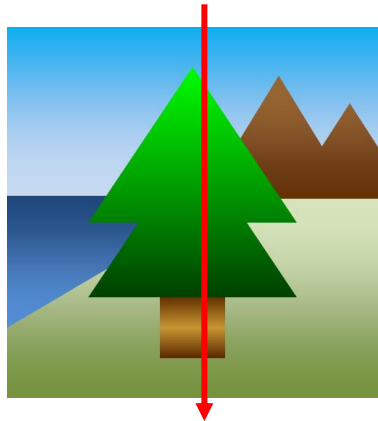


Imagem RGB contínua

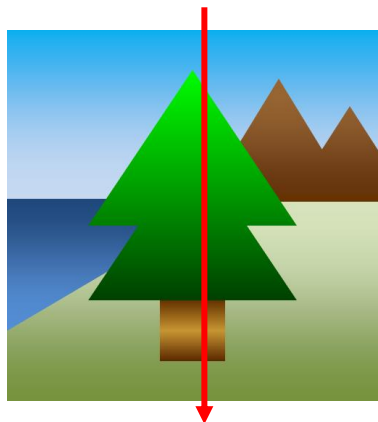


Imagem RGB contínua

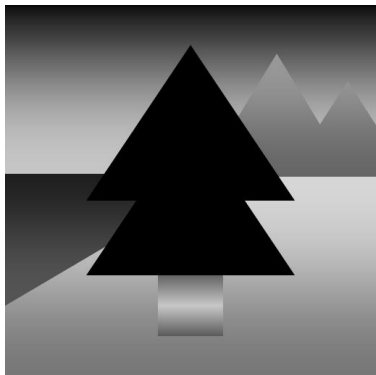


Imagem R contínua



Imagem G contínua

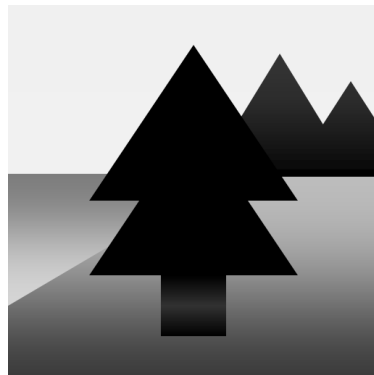


Imagem B contínua

Amostragem

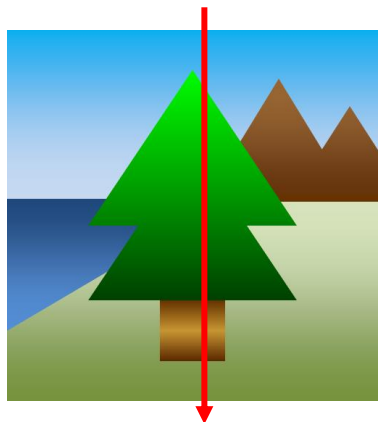


Imagem RGB contínua

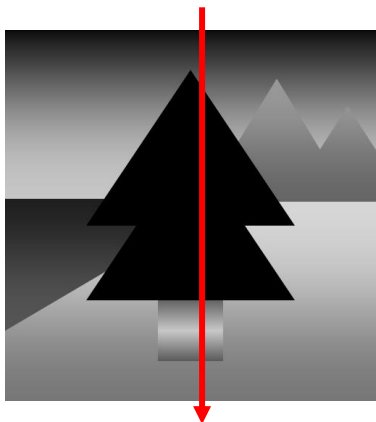


Imagem R contínua

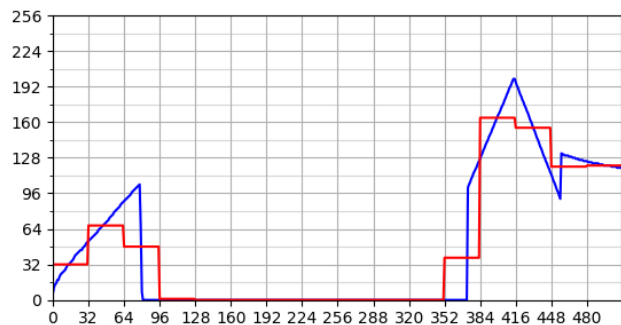


Imagem G contínua



Imagem B contínua

Amostragem do canal R



Amostragem

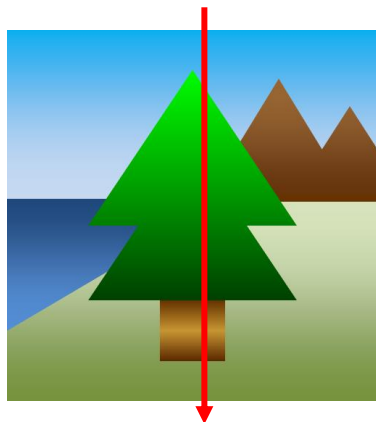


Imagem RGB contínua

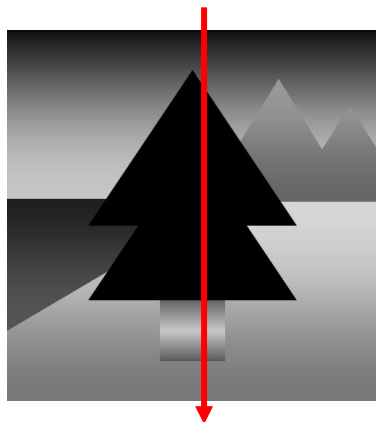


Imagem R contínua

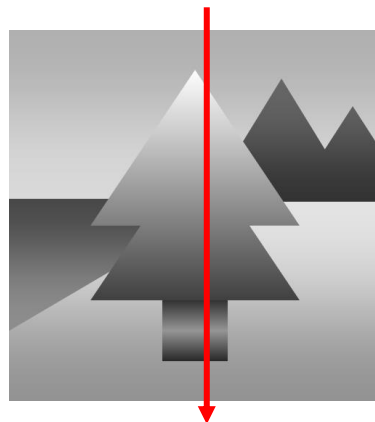


Imagem G contínua

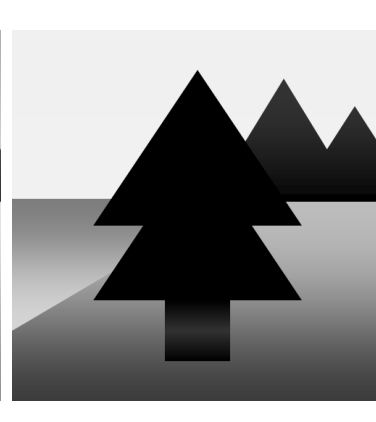
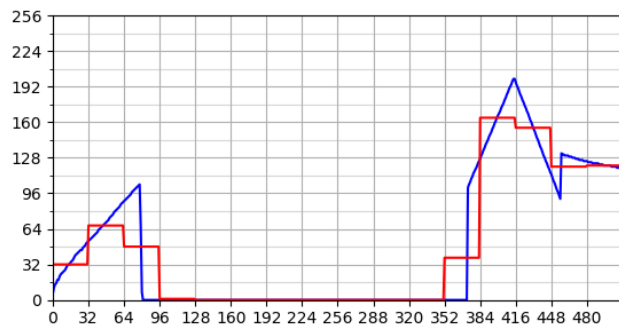
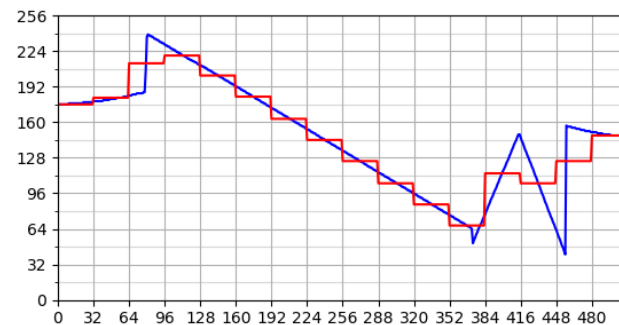


Imagem B contínua

Amostragem do canal R



Amostragem do canal G



Amostragem

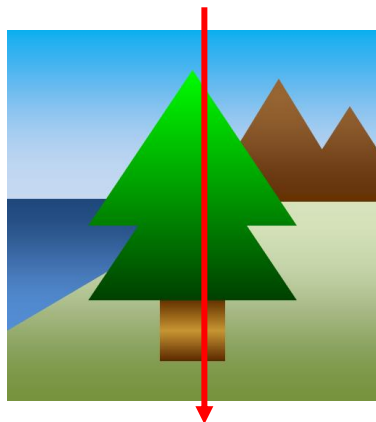


Imagem RGB contínua

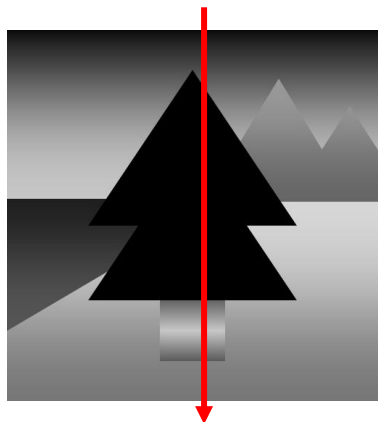


Imagem R contínua

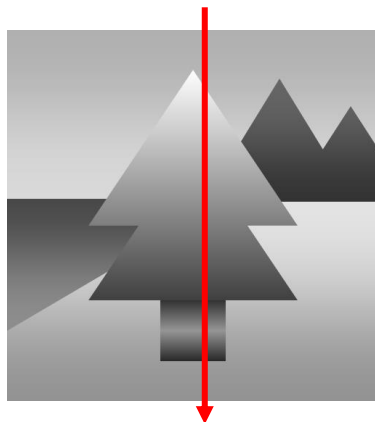


Imagem G contínua

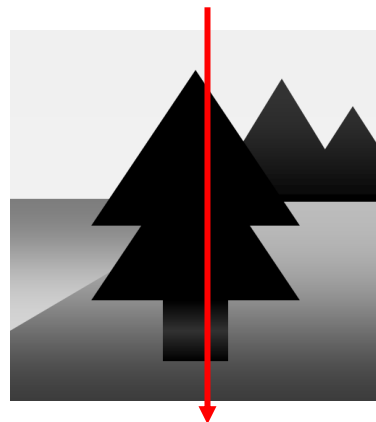
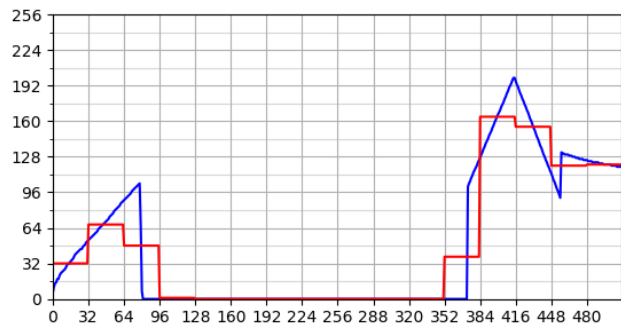
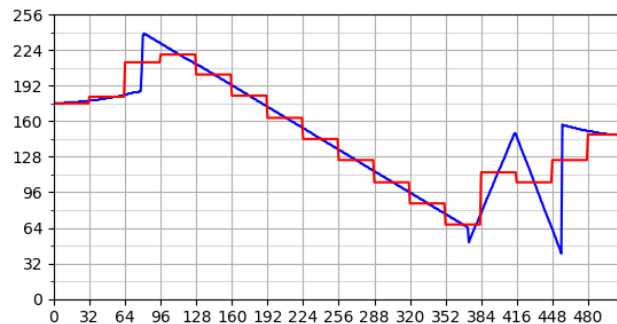


Imagem B contínua

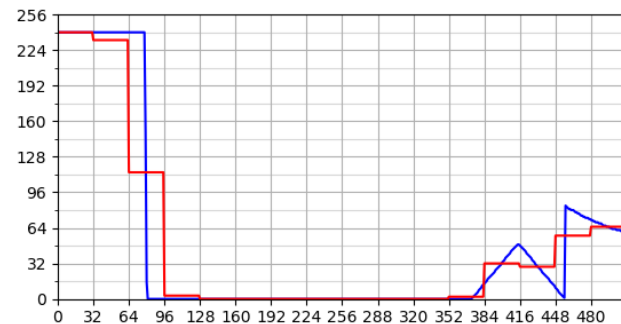
Amostragem do canal R



Amostragem do canal G



Amostragem do canal B



Amostragem

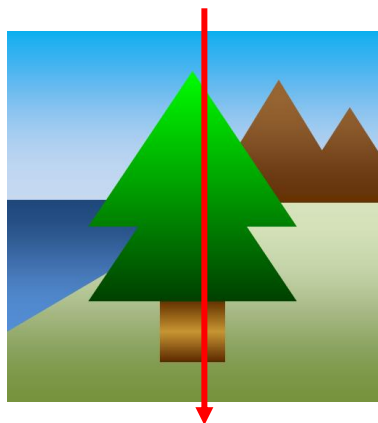


Imagem RGB contínua

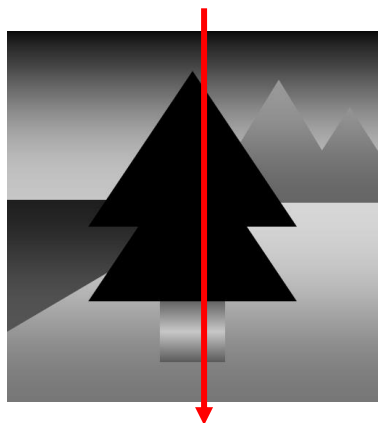


Imagem R contínua

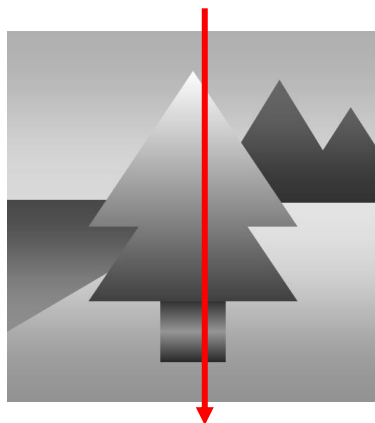


Imagem G contínua

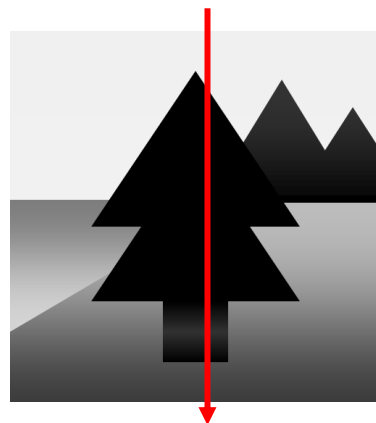


Imagem B contínua

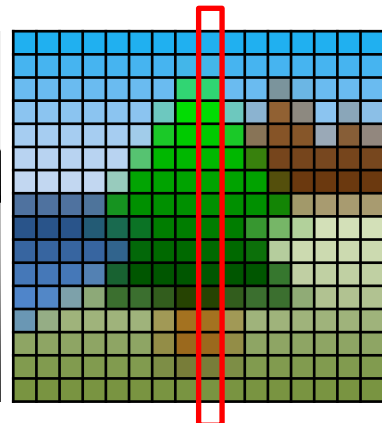
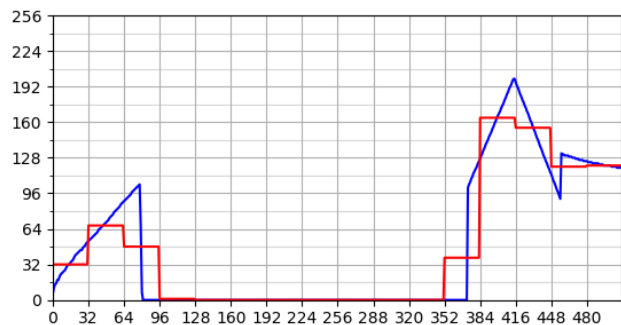
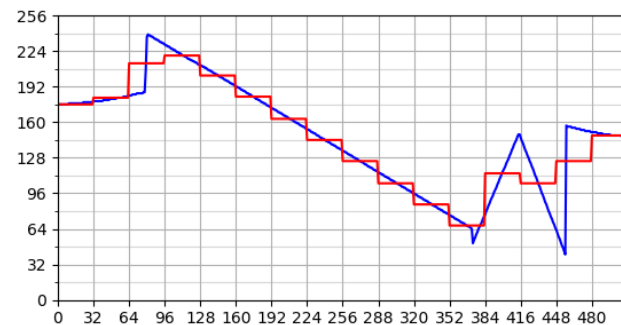


Imagem RGB discreta (amostrada)

Amostragem do canal R



Amostragem do canal G



Amostragem do canal B

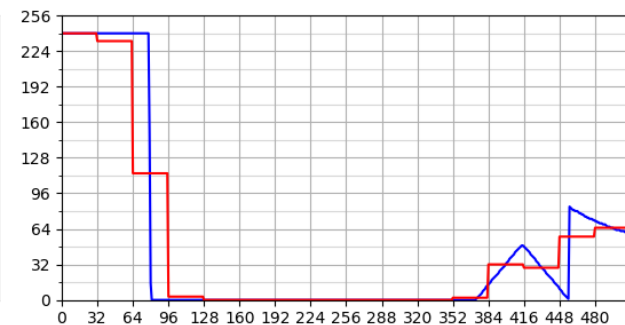




Imagem em níveis de cinza continua

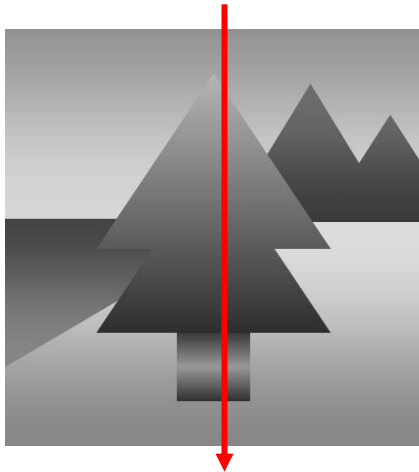
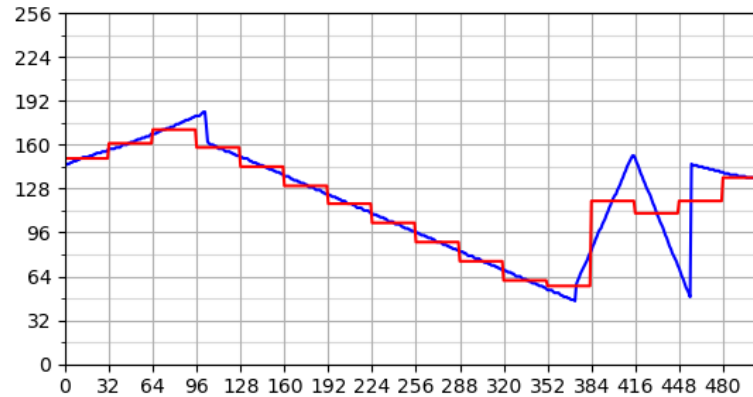


Imagem em níveis de cinza continua



Amostragem da imagem em níveis de cinza

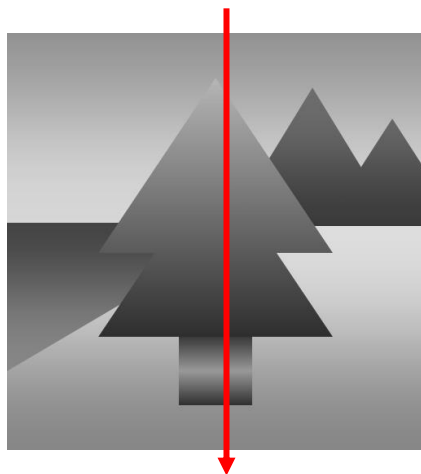
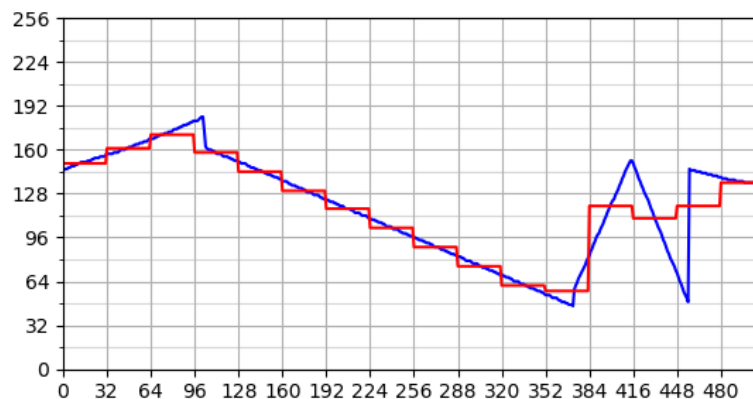


Imagem em níveis de cinza continua



Amostragem da imagem em níveis de cinza

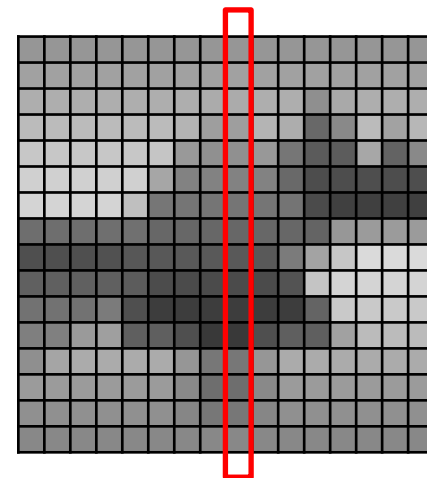


Imagem em níveis de cinza discreta
(amostrada)

1,7 pol



300 ppi – 512 x 512



1,7 pol. a 150 ppi – 256 x 256



1,7 pol. a 75 ppi – 128 x 128



1,7 pol. a ~38 ppi – 64 x 64



1,7 pol. a 19 ppi – 32 x 32

Efeitos da resolução espacial

1,7 pol.
512 x 512 pixels
300 ppi



0,85 pol.
256 x 256 pixels
300 ppi



0,43 pol.
128 x 128 pixels
300 ppi

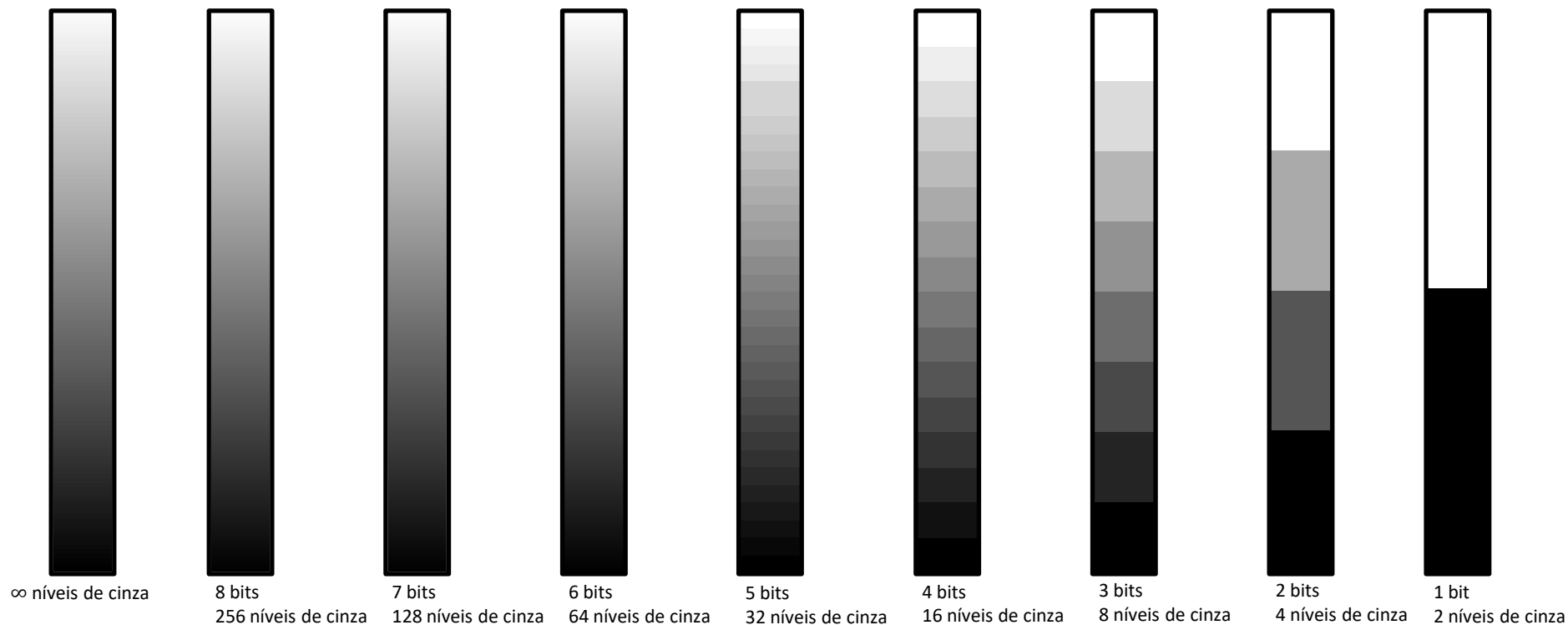


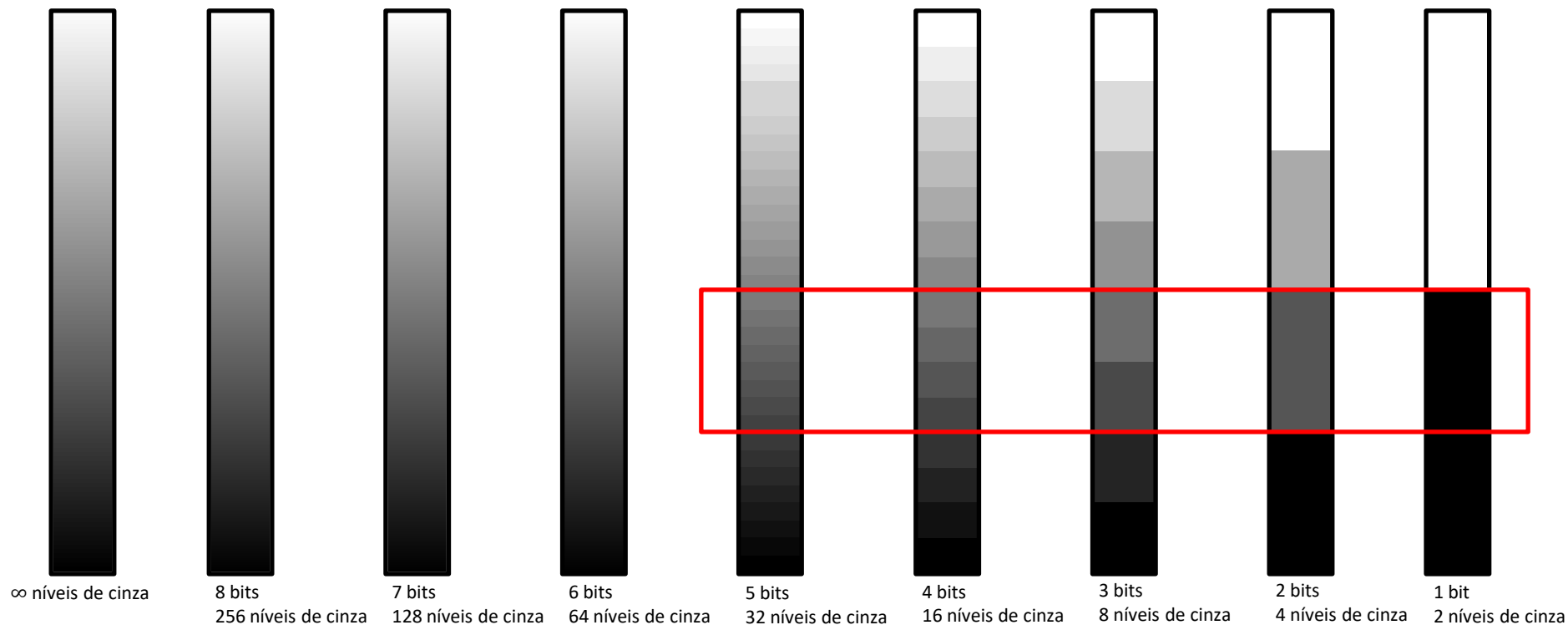
0,21 pol.
64 x 64 pixels
300 ppi



0,11 pol.
32 x 32 pixels
300 ppi









8 bits. $2^8 = 256$ níveis de cinza



7 bits. $2^7 = 128$ níveis de cinza



6 bits. $2^6 = 64$ níveis de cinza



5 bits. $2^5 = 32$ níveis de cinza



4 bits. $2^4 = 16$ níveis de cinza



3 bits. $2^3 = 8$ níveis de cinza



2 bits. $2^2 = 4$ níveis de cinza



1 bit. $2^1 = 2$ níveis de cinza

- MARQUES FILHO, O.; VIEIRA NETO, H. Processamento digital de imagens. Brasport, 1999.
 - Disponível para download no site do autor (Exclusivo para uso pessoal)
 - <http://dainf.ct.utfpr.edu.br/~hvieir/pub.html>
 - Seção 2.1
- GONZALEZ, R.C.; WOODS, R.E.; Processamento Digital de Imagens. 3ª edição. Editora Pearson, 2009.
 - Seções 2.1, 2.2, 2.3 e 2.4
- Alan Peters. Lectures on Image Processing. Vanderbilt University, 2019.
 - https://archive.org/details/Lectures_on_Image_Processing
- J. E. R. Queiroz, H. M. Gomes. Introdução ao Processamento Digital de Imagens. RITA. v. 13, 2006.
 - <http://www.dsc.ufcg.edu.br/~hmg/disciplinas/graduacao/vc-2016.2/Rita-Tutorial-PDI.pdf>
 - Seção 2

Bibliografia complementar

- Felipe Arruda. Vídeo explica como funciona o sensor CCD das câmeras digitais. Tecmundo, 2012.
 - <https://www.tecmundo.com.br/fotografia-e-design/23626-video-explica-como-funciona-o-sensor-ccd-das-cameras-digitais.htm>
- Bill Hammack. CCD: The heart of a digital camera (how a charge-coupled device works). YouTube. Canal: engineerguy.
 - <https://www.youtube.com/watch?v=wsdmt0De8Hw&feature=youtu.be>
- Raymond Siri. CMOS Animation Sequence. Vimeo
 - <https://vimeo.com/103279734>
- Raymond Siri. CCD Animation Sequence. Vimeo
 - <https://vimeo.com/103279733>

- Rafael Helerbrock. **Quais são os limites da visão humana?** Mundo Educação
 - <https://mundoeducacao.uol.com.br/fisica/quais-sao-os-limites-visao-humana.htm>
- Francie Diep. **Humans Can Only Distinguish Between About 30 Shades Of Gray.** Popular Science, 2015.
 - <https://www.popsoci.com/humans-can-only-distinguish-between-about-30-shades-gray/>
- Luciana Galastri. **Humanos conseguem distinguir apenas 30 tons de cinza.** Galileu, 2015.
 - <https://revistagalileu.globo.com/Ciencia/noticia/2015/02/humanos-conseguem-distinguir-apenas-30-tons-de-cinza.html>

```
@misc{mari_im_proc_2023,
  author = {João Fernando Mari},
  title = {Fundamentos da imagem digital I},
  year = {2023},
  publisher = {GitHub},
  journal = {Introdução ao Processamento Digital de Imagens - UFV},
  howpublished = {\url{https://github.com/joaofmari/SIN392_Introduction-to-digital-image-processing_2023}}
}
```

FIM